

państwowa służba
geologiczna

PROGNOZA SYTUACJI HYDROGEOLOGICZNEJ W STREFACH ZASILANIA I POBORU WÓD PODZIEMNYCH

OD: 01.03.2026
DO: 31.03.2026

WARSZAWA
LUTY 2026

02/2026



Państwowy Instytut Geologiczny
Państwowy Instytut Badawczy

pgi.gov.pl

państwowa służba
geologiczna

PROGNOZA SYTUACJI HYDROGEOLOGICZNEJ W STREFACH ZASILANIA I POBORU WÓD PODZIEMNYCH

OD: 01.03.2026

DO: 31.03.2026

Redaktor naukowy: dr Małgorzata Woźnicka

Opracowanie merytoryczne: mgr Urszula Czarniecka-Januszczuk,
mgr Agnieszka Kowalczyk, dr Anna Kuczyńska, mgr Izabela Stępińska-Drygała,
mgr Dorota Olędzka, mgr Piotr Wesołowski

WARSZAWA
LUTY 2026



Państwowy Instytut Geologiczny
Państwowy Instytut Badawczy

pgi.gov.pl

**PROGNOZA SYTUACJI HYDROGEOLOGICZNEJ
W STREFACH ZASILANIA
I POBORU WÓD PODZIEMNYCH
na okres: 01.03.2026 – 31.03.2026**

Podstawa prawna: ustawa z dnia 20 lipca 2017 r. - Prawo wodne (Dz.U. 2025 poz. 960.) oraz rozporządzenie Ministra Infrastruktury z dnia 24 października 2023 r. w sprawie ostrzeżeń, prognoz, komunikatów, biuletynów i roczników państwowej służby hydrologiczno-meteorologicznej i państwowej służby geologicznej (Dz.U. 2023 poz. 2430).

Prognoza przedstawia opis przewidywanego rozwoju sytuacji hydrogeologicznej na obszarze kraju w strefach zasilania i poboru wód podziemnych w okresie od 1 do 31 marca 2026 r. Opracowanie obejmuje analizę w zakresie położenia zwierciadła wód podziemnych, stanu rezerw zasobów zmiennych wód podziemnych oraz zagrożenia hydrogeologicznego.

Strefy zasilania wód podziemnych obejmują blisko 90% obszaru kraju. Zgodnie z aktualną informacją pozyskaną przez państwową służbę geologiczną (PSG) liczba ujęć wód podziemnych, które corocznie działają w ramach poboru rejestrowanego, wynosi w Polsce ponad 21 000. Ok. 85% spośród tych ujęć służy zaopatrzeniu ludności w wodę do spożycia. Według danych GUS wody podziemne stanowią 74% wody przeznaczonej do spożycia przez ludzi i dystrybuowanej sieciami wodociągowymi na obszarze kraju¹. Są również źródłem wód dla zaspokojenia potrzeb gospodarstw domowych w ramach zwykłego korzystania z wód oraz zasilają ekosystemy zależne od wód podziemnych.

Przy założeniu wystąpienia w najbliższych tygodniach niekorzystnych warunków meteorologicznych (deficyt opadów atmosferycznych), niżówka hydrogeologiczna w marcu 2026 r. może występować na znacznych obszarach kraju. Zjawisko niżówki o zasięgu regionalnym prognozuje się w obrębie następujących województw: podlaskiego, mazowieckiego, lubelskiego oraz kujawsko-pomorskiego, warmińsko-mazurskiego, łódzkiego i świętokrzyskiego.

Lokalnie zwierciadło wód podziemnych pierwszego poziomu wodonośnego poniżej stanu niskiego ostrzegawczego (SNO) może układać się także na innych, niż wymienione powyżej obszarach kraju. Występowanie zwierciadła wód pierwszego poziomu wodonośnego poniżej poziomu SNO może powodować utrudnienia w zaopatrzeniu w wodę z płytkich ujęć wód podziemnych.

Prognozy mają na celu wskazanie tendencji rozwoju sytuacji hydrogeologicznej w nadchodzących tygodniach. Na potrzeby niniejszej prognozy wykorzystano wyniki pomiarów głębokości zwierciadła wód podziemnych w punktach sieci obserwacyjno-

¹ *Ochrona środowiska 2025*. Warszawa: Główny Urząd Statystyczny; 2025. ISSN: 0867-3217.

badawczej państwowej służby geologicznej. Wykorzystano również dostępne dane dotyczące ilości ustalonych zasobów dyspozycyjnych wód podziemnych² oraz Biuletynu Państwowej Służby Hydrologiczno-Meteorologicznej³. Analizy ujęto w skrajne scenariusze prawdopodobnego rozwoju regionalnej sytuacji hydrogeologicznej, w nawiązaniu do możliwych do wystąpienia warunków meteorologicznych.

Określenia bieżącej sytuacji hydrogeologicznej oraz prognozy wystąpienia niżówki hydrogeologicznej dokonano na podstawie interpretacji wyników pomiarów wykonanych w reprezentatywnych punktach sieci obserwacyjno-badawczej wód podziemnych państwowej służby geologicznej. Zastosowano następujące zasady metodyczne:

- Zagrożenie niżówką hydrogeologiczną określono na podstawie odniesienia prognozowanego położenia zwierciadła wód podziemnych (AG) do poziomu granicznego opisywanego zjawiska, tj. stanu niskiego ostrzegawczego (SNO).
- Wskaźnik zmian retencji (Rz), tj. poziomu rezerw odniesionych do najniższego zaobserwowanego w wieloleciu położenia zwierciadła wody (NNG), obliczono według zależności:

$$Rz = \frac{NNG - AG}{\frac{1}{2}(NNG - SNO)}$$

gdzie:

- NNG [m] - najniższa roczna wartość głębokości zwierciadła wody z okresu wielolecia;
- AG [m] - średnia miesięczna prognozowana wartość głębokości zwierciadła wody, obliczona dla miesiąca okresu objętego prognozą;
- SNO [m] - stan niski ostrzegawczy (tj. głębokość położenia zwierciadła wody uzasadniająca wprowadzenie stanu zagrożenia hydrogeologicznego) określony jako poziom zwierciadła wody obliczany jako średnia z minimalnych rocznych stanów położenia zwierciadła wody charakteryzujących się wartościami niższymi od wielkości opisanej jako poziom średni niski z wielolecia.

Wskaźnik zmian retencji określa zmiany wielkości rezerw zasobów zmiennych pierwszego poziomu wodonośnego. Graniczna wartość opisywanego wskaźnika równa jedności przekłada się na poziom odniesienia przypadający na środek przedziału SNO-NNG, czyli przyjęty stan zagrożenia dla użytkowania wód podziemnych, przy założeniu dalszej tendencji spadkowej położenia zwierciadła wody. Prognozy przedstawia się na podstawie analizy wieloletniej charakterystyki trendów położenia zwierciadła płytkich wód podziemnych oraz zmian sezonowych.

² <https://www.pgi.gov.pl/psh/zadania-psh/8886-zadania-psh-zasoby-wod-podziemnych.html>

³ Biuletyn Państwowej Służby Hydrologiczno-Meteorologicznej Nr 11 (291). Instytut Meteorologii i Gospodarki Wodnej - Państwowy Instytut Badawczy; 2025. ISSN: 1730-6124;

Biuletyn Państwowej Służby Hydrologiczno-Meteorologicznej Nr 12 (292). Instytut Meteorologii i Gospodarki Wodnej - Państwowy Instytut Badawczy; 2025. ISSN: 1730-6124;

Biuletyn Państwowej Służby Hydrologiczno-Meteorologicznej Nr 1 (294). Instytut Meteorologii i Gospodarki Wodnej - Państwowy Instytut Badawczy; 2026. ISSN: 1730-6124.

W niezaburzonym antropogenicznie środowisku wahania zwierciadła wody podziemnej charakteryzuje wieloletnia quasi-cykliczność. W długich okresach obserwacji – ponad 50-letnich, naturalne położenie zwierciadła nie wykazuje wyraźnego trendu. Jednak w krótszych przedziałach czasowych widoczne są znaczne zmiany, które oznaczają wzrost lub spadek odnawialnych zasobów wód podziemnych. Dla gospodarki wodnej wychwycenie tych okresowych tendencji ma kluczowe znaczenie w ocenie ryzyka związanego z możliwością wystąpienia ekstremalnych stanów wód podziemnych.

Prognoza zmian położenia zwierciadła wody dotyczy wód podziemnych pierwszego, nieizolowanego od powierzchni terenu poziomego wodonośnego o zwierciadle swobodnym, zasilanego bezpośrednio poprzez infiltrację opadów atmosferycznych i zazwyczaj silnie reagującego na zmienność warunków meteorologicznych, hydrologicznych i na antropopresję. Poziom ten ma bezpośredni wpływ na kształtowanie odpływu rzecznoego w przypadku, gdy stan wód powierzchniowych jest zależny od wód podziemnych.

Niepewność długookresowej prognozy sytuacji meteorologiczno-hydrologicznej powoduje, że prognozę zmian położenia zwierciadła wody podziemnej przedstawia się w zależności od wielkości zasilania wód podziemnych według **dwóch scenariuszy** przy założeniu, że:

- w prognozowanym okresie suma opadów atmosferycznych będzie wyższa od średniej wieloletniej i temperatury powietrza będą sprzyjały infiltracji wód opadowych do warstwy wodonośnej – **scenariusz A**;
- w prognozowanym okresie suma opadów atmosferycznych będzie niższa od średniej wieloletniej i/lub temperatury powietrza nie będą sprzyjały infiltracji wód opadowych do warstwy wodonośnej – **scenariusz B**.

Prognozę zmian zasobów i zagrożeń wód podziemnych w tym opracowaniu (część II i III opracowania) przedstawia się wyłącznie dla scenariusza B.

Część I

Prognoza zmian położenia zwierciadła wód podziemnych

Zgodnie ze scenariuszem B w okresie od 1 do 31 marca 2026 r., według przeprowadzonych analiz, zwierciadło płytkich wód podziemnych na przeważającym obszarze kraju, układać się będzie w bezpiecznej strefie wahań. Tym niemniej na znacznych obszarach w województwach: podlaskim, mazowieckim, lubelskim, kujawsko-pomorskim, warmińsko-mazurskim, łódzkim, świętokrzyskim zwierciadło może układać się w strefie poniżej stanu niskiego ostrzegawczego (SNO). Lokalnie, na mniejszych obszarach, takie obniżenia mogą występować również w pozostałych województwach kraju.

W okresie objętym prognozą stosunkowo często na terenie kraju zwierciadło pierwszego poziomu wodonośnego może układać się w strefie stanów SNG-SNO, czyli powyżej wartości ostrzegawczej, a poniżej średniego stanu niskiego z wielolecia. Jednak tego typu sytuacje nie powinny powodować problemów w zaopatrzeniu w wodę.

Lokalizację punktów sieci obserwacyjno-badawczej wód podziemnych, dla których wykonano symulacje rozwoju sytuacji hydrogeologicznej przedstawia rysunek nr 1.



Rys. 1. Lokalizacja punktów sieci obserwacyjno-badawczej wód podziemnych, dla których wykonano symulacje rozwoju sytuacji hydrogeologicznej

W tabeli nr 1 zestawiono wyniki prognozy w odniesieniu do położenia zwierciadła wody względem stanów charakterystycznych i oceny stopnia zagrożenia niżówką hydrogeologiczną w analizowanych punktach sieci obserwacyjno-badawczej PIG-PIB. Województwa wymieniono w porządku alfabetycznym. Przedstawione dane dotyczą wariantu prognozy opisanej jako scenariusz B.

Tab. 1. Prognozowane, uśrednione położenie zwierciadła wody względem stanów charakterystycznych (kolumna nr 4) i ocena stopnia zagrożenia niżówką hydrogeologiczną (kolumna nr 5) dla analizowanych punktów sieci obserwacyjno-badawczej PIG-PIB na okres: 1 – 31.03.2026 r. według scenariusza B

Województwo	Miejscowość	Nr punktu	Położenie zw. wody	Stopień zagrożenia	Śr. prędkość spadku zw. wody w marcu [m/m-c]	P [%]*
1	2	3	4	5	6	7
dolnośląskie	Lasów	II/1164/1	SNG-SNO	umiarkowany	0.13	42.9
dolnośląskie	Zgorzelec	II/1165/1	SNG-SSG	niski	0.20	57.1
dolnośląskie	Kamień Górowski	II/1203/1	SNG-SSG	niski	0.07	81.8
dolnośląskie	Posadowice	II/1228/1	SNG-SNO	umiarkowany	0.09	45.5
dolnośląskie	Szklarska Poręba	II/1762/1	SNG-SSG	niski	0.51	61.5
dolnośląskie	Różanka	II/1775/1	poniżej SNO	wysoki	0.10	66.7
dolnośląskie	Goliszów	II/1856/1	SNG-SSG	niski	0.03	54.5
dolnośląskie	Piława Górna	II/601/1	powyżej SSG	bardzo niski	0.25	73.7
dolnośląskie	Białobrzezie	II/732/1	SNG-SSG	niski	0.20	62.2
dolnośląskie	Szczawno - Zdrój	II/744/1	SNG-SSG	niski	0.64	50.0
dolnośląskie	Stary Wielisław	II/747/1**	SNG-SSG	niski	0.27	41.7
dolnośląskie	Bogdaszowice	II/914/1	poniżej SNO	wysoki	0.03	47.2
kujawsko-pomorskie	Jagodowo	I/257/4**	poniżej SNO	wysoki	0.04	17.0
kujawsko-pomorskie	Przedbórz	II/1271/1	poniżej SNO	wysoki	0.02	10.0
kujawsko-pomorskie	Kąkol	II/1583/1	poniżej SNO	wysoki	0.01	61.1
kujawsko-pomorskie	Skrzynki	II/178/1	SNG-SNO	umiarkowany	0.06	52.0
kujawsko-pomorskie	Wierzchy	II/183/1	SNG-SNO	umiarkowany	0.04	21.3
kujawsko-pomorskie	Solec Kujawski	II/185/1	SNG-SNO	umiarkowany	0.08	38.1
kujawsko-pomorskie	Mokry Las	II/1875/1	powyżej SSG	bardzo niski	0.01	55.6
kujawsko-pomorskie	Szubin	II/527/1	poniżej SNO	wysoki	0.05	44.7
kujawsko-pomorskie	Rozwarzyn	II/906/1**	SNG-SSG	niski	0.07	36.8
lubelskie	Sadurki	II/327/1	SNG-SNO	umiarkowany	0.10	31.0
lubelskie	Giełczew – Doły	II/331/1	poniżej SNO	wysoki	0.13	29.8
lubelskie	Koszarsko	II/334/1	poniżej SNO	wysoki	0.19	31.8
lubelskie	Woźuczyn	II/338/1	SNG-SNO	umiarkowany	0.03	53.6
lubelskie	Poizdów	II/509/1	poniżej SNO	wysoki	0.02	44.4
lubelskie	Siemień	II/510/1	SNG-SNO	umiarkowany	0.06	31.4
lubelskie	Wola Uhruska	II/514/1	SNG-SNO	umiarkowany	0.17	22.5
lubelskie	Żmudź	II/516/1	SNG-SNO	umiarkowany	0.21	21.1
lubelskie	Łabunie	II/519/1	poniżej SNO	wysoki	0.09	36.8
lubelskie	Babin	II/561/1	poniżej SNO	wysoki	0.02	30.0

Województwo	Miejscowość	Nr punktu	Położenie zw. wody	Stopień zagrożenia	Śr. prędkość spadku zw. wody w marcu [m/m-c]	P [%]*
lubelskie	Borki	II/572/1	poniżej SNO	wysoki	0.05	55.0
lubelskie	Manie	II/575/1	poniżej SNO	wysoki	0.05	52.6
lubelskie	Podewórze	II/578/1**	poniżej SNO	wysoki	0.06	33.3
lubelskie	Bronowice	II/582/1	poniżej SNO	wysoki	0.09	30.0
lubuskie	Rudnica	I/650/2	SNG-SSG	niski	0.05	70.3
lubuskie	Wysokie	I/910/2**	SNG-SSG	niski	0.11	68.8
lubuskie	Dobrzyń	II/1139/1	poniżej SNO	wysoki	0.26	72.2
lubuskie	Późna	II/1155/3	SNG-SSG	niski	0.16	57.9
lubuskie	Iłowa	II/1191/1	SNG-SSG	niski	0.07	58.3
lubuskie	Czartów	II/1539/1	SNG-SSG	niski	0.03	25.0
lubuskie	Szprotawa	II/1860/1	SNG-SSG	niski	0.05	36.4
lubuskie	Nowe Żabno	II/736/2	SNG-SNO	umiarkowany	0.06	46.2
łódzkie	Grodzisk	II/1075/1	SNG-SSG	niski	0.03	42.1
łódzkie	Marcelów	II/1288/2**	powyżej SSG	bardzo niski	0.03	66.7
łódzkie	Jadwinówka	II/1348/1	poniżej SNO	wysoki	0.03	42.9
łódzkie	Przedbórz	II/1377/1	poniżej SNO	wysoki	0.10	65.0
łódzkie	Sulejów	II/1391/1**	poniżej SNO	wysoki	0.05	57.9
łódzkie	Przeręb	II/1400/1	SNG-SSG	niski	0.07	65.0
łódzkie	Wrzeszczewice	II/1731/1	SNG-SSG	niski	0.08	36.4
łódzkie	Saków	II/1867/1	powyżej SSG	bardzo niski	0.11	60.0
łódzkie	Kamieńsk	II/281/1	powyżej SSG	bardzo niski	0.10	48.9
łódzkie	Lubocz	II/319/1	SNG-SSG	niski	0.07	45.8
małopolskie	Jabłonka	I/847/1	SNG-SSG	niski	0.07	57.1
małopolskie	Otfinów	II/1657/1	poniżej SNO	wysoki	0.06	38.5
małopolskie	Bielcza	II/1658/1	powyżej SSG	bardzo niski	0.13	78.6
małopolskie	Zakliczyn	II/1678/1	SNG-SNO	umiarkowany	0.13	41.7
małopolskie	Broszkowice	II/1715/1	SNG-SSG	niski	0.09	55.6
małopolskie	Facimiech	II/750/1	SNG-SNO	umiarkowany	0.28	57.9
małopolskie	Kraków	II/771/1	powyżej SSG	bardzo niski	0.02	69.7
małopolskie	Lubasz	II/832/1	SNG-SSG	niski	0.08	66.7
małopolskie	Pcim	II/838/1**	poniżej SNO	wysoki	0.17	55.0
małopolskie	Piwniczna – Zdrój	II/844/1	SNG-SSG	niski	0.17	47.1
małopolskie	Bukowno	II/938/1	powyżej SSG	bardzo niski	0.22	25.9
mazowieckie	Brwinów	I/211/4	poniżej SNO	wysoki	0.07	60.7
mazowieckie	Granica	I/960/2	SNG-SSG	niski	0.04	48.1
mazowieckie	Wymyśle Polskie	II/1072/1	SNG-SNO	umiarkowany	0.05	57.9
mazowieckie	Wincentów	II/1073/1	poniżej SNO	wysoki	0.08	44.4
mazowieckie	Kamion	II/1076/1	poniżej SNO	wysoki	0.04	16.7
mazowieckie	Grędzice	II/1260/1	poniżej SNO	wysoki	0.22	8.3
mazowieckie	Iłża	II/1380/1	SNG-SSG	niski	0.04	45.0
mazowieckie	Kazimierki	II/1385/1	poniżej SNO	wysoki	0.06	60.0
mazowieckie	Białobrzegi	II/1386/1	SNG-SNO	umiarkowany	0.05	61.1
mazowieckie	Kozienice	II/1388/1	poniżej SNO	wysoki	0.03	30.0
mazowieckie	Ciepielów	II/1398/1	poniżej SNO	wysoki	0.05	35.0

Województwo	Miejscowość	Nr punktu	Położenie zw. wody	Stopień zagrożenia	Śr. prędkość spadku zw. wody w marcu [m/m-c]	P [%]*
mazowieckie	Łęg Starościński	II/1441/1	SNG-SSG	niski	0.06	36.8
mazowieckie	Sypniewo	II/1446/1	SNG-SNO	umiarkowany	0.08	26.3
mazowieckie	Parciaki – Stacja	II/1448/1	poniżej SNO	wysoki	0.02	47.4
mazowieckie	Płock	II/172/1	SNG-SNO	umiarkowany	0.03	28.9
mazowieckie	Nagoszewo	II/1722/1**	poniżej SNO	wysoki	0.04	30.8
mazowieckie	Kaliska	II/1723/1	poniżej SNO	wysoki	0.12	61.5
mazowieckie	Pętkowo Wielkie	II/1726/1	poniżej SNO	wysoki	0.09	38.5
mazowieckie	Chrzczanka Włościańska	II/1781/1	SNG-SSG	niski	0.14	80.0
mazowieckie	Sulęcín Szlachecki	II/1782/1	SNG-SSG	niski	0.03	20.0
mazowieckie	Łysów	II/20/1	poniżej SNO	wysoki	0.05	27.6
mazowieckie	Łaskarzew	II/3/1	SNG-SSG	niski	0.10	54.0
mazowieckie	Aleksandrów	II/368/1	poniżej SNO	wysoki	0.05	70.0
mazowieckie	Lipsko	II/369/1	SNG-SNO	umiarkowany	0.03	53.5
mazowieckie	Goździków	II/392/1	poniżej SNO	wysoki	0.15	31.8
mazowieckie	Guzów	II/396/1	SNG-SSG	niski	0.28	44.4
mazowieckie	Kresy	II/497/1	poniżej SNO	wysoki	0.02	41.2
mazowieckie	Seredzice	II/557/1	SNG-SSG	niski	0.03	38.5
mazowieckie	Sierpc	II/79/1	SNG-SSG	niski	0.04	43.8
mazowieckie	Nowe Iganie	II/964/2	poniżej SNO	wysoki	0.02	83.3
mazowieckie	Wólka Radzymańska	II/975/1	SNG-SSG	niski	0.09	90.9
mazowieckie	Okuniew	II/977/1	poniżej SNO	wysoki	0.10	70.0
mazowieckie	Płońsk	II/98/1	SNG-SSG	niski	0.08	50.0
mazowieckie	Gościszka	II/998/1	powyżej SSG	bardzo niski	0.01	53.8
opolskie	Wrzosi	I/911/5**	SNG-SSG	niski	0.11	84.2
opolskie	Stara Kuźnia	I/925/4	SNG-SNO	umiarkowany	0.04	54.8
opolskie	Gadzowice	II/1208/1	SNG-SSG	niski	0.11	76.2
opolskie	Bliszczycy	II/1209/1	SNG-SNO	umiarkowany	0.02	28.6
opolskie	Borki Wielkie	II/1345/1	SNG-SSG	niski	0.07	66.7
opolskie	Zawadzkie	II/1733/1	SNG-SNO	umiarkowany	0.12	>95
opolskie	Łącznik	II/633/1	SNG-SNO	umiarkowany	0.06	47.4
opolskie	Chróścice	II/916/1	SNG-SNO	umiarkowany	0.05	42.9
opolskie	Karłowiczki	II/918/1	SNG-SSG	niski	0.04	17.1
podkarpackie	Turza	II/1089/1	poniżej SNO	wysoki	0.04	33.3
podkarpackie	Miękisz Nowy	II/1532/1	SNG-SNO	umiarkowany	0.05	33.3
podkarpackie	Jasienica Rosielna	II/1665/1	SNG-SSG	niski	0.09	42.9
podkarpackie	Mielec	II/491/1	powyżej SSG	bardzo niski	0.06	45.0
podkarpackie	Werchrała	II/551/1	SNG-SNO	umiarkowany	0.27	47.4
podkarpackie	Wierzawice	II/553/1	powyżej SSG	bardzo niski	0.03	50.0
podkarpackie	Pysznica	II/559/1	SNG-SSG	niski	0.15	51.4
podkarpackie	Dębiny	II/599/2	poniżej SNO	wysoki	0.62	73.3
podkarpackie	Strzyżów	II/800/1	SNG-SNO	umiarkowany	0.10	25.7
podkarpackie	Lesko	II/815/1**	SNG-SSG	niski	0.13	48.6
podkarpackie	Rabe	II/821/1	powyżej SSG	bardzo niski	0.02	51.4
podlaskie	Boksze Stare	II/1249/1	poniżej SNO	wysoki	0.07	28.6

Województwo	Miejscowość	Nr punktu	Położenie zw. wody	Stopień zagrożenia	Śr. prędkość spadku zw. wody w marcu [m/m-c]	P [%]*
podlaskie	Lipsk	II/1445/1	poniżej SNO	wysoki	0.01	26.3
podlaskie	Morgowniki	<u>II/1447/1**</u>	SNG-SSG	niski	0.26	52.6
podlaskie	Liza Stara	<u>II/1810/2**</u>	poniżej SNO	wysoki	0.03	50.0
podlaskie	Gugny	II/1818/2	SNG-SSG	niski	0.12	22.2
podlaskie	Kozioł	II/231/1	SNG-SSG	niski	0.10	53.5
podlaskie	Sobolewo	II/862/1	SNG-SNO	umiarkowany	0.01	14.8
podlaskie	Wólka Terechowska	II/866/1	poniżej SNO	wysoki	0.02	16.7
podlaskie	Waliby	II/967/1	poniżej SNO	wysoki	0.03	25.0
pomorskie	Gdańsk	II/1569/2	SNG-SSG	niski	0.05	52.6
pomorskie	Maszewko	II/1574/1	SNG-SNO	umiarkowany	0.10	55.0
pomorskie	Borucino	<u>II/1750/1**</u>	powyżej SSG	bardzo niski	0.06	58.3
pomorskie	Okragła Łąka	II/205/1	SNG-SSG	niski	0.06	65.3
pomorskie	Wąglikowice	II/222/1	SNG-SNO	umiarkowany	0.01	30.3
pomorskie	Rzeczynica	<u>II/532/1**</u>	poniżej SNO	wysoki	0.14	30.8
pomorskie	Łysomiczki	II/544/1	SNG-SNO	umiarkowany	0.02	32.1
śląskie	Podlesie	I/470/1	SNG-SSG	niski	0.41	39.5
śląskie	Morusy	I/476/2	SNG-SNO	umiarkowany	0.22	30.2
śląskie	Krzanowice	II/1211/1	powyżej SSG	bardzo niski	0.02	52.4
śląskie	Jaskrów	II/131/1	SNG-SSG	niski	0.21	64.3
śląskie	Częstochowa	II/1346/1	SNG-SNO	umiarkowany	0.04	47.6
śląskie	Ciasna	II/1351/1	SNG-SSG	niski	0.09	78.9
śląskie	Zawada Pilicka	II/1401/1	SNG-SSG	niski	0.10	85.0
śląskie	Nędza	II/1632/1	SNG-SSG	niski	0.10	78.9
śląskie	Gołysz	II/1710/1	SNG-SSG	niski	0.05	26.3
śląskie	Mazańcowice	II/1711/1	SNG-SSG	niski	0.12	68.4
śląskie	Piasek	<u>II/1712/1**</u>	SNG-SSG	niski	0.07	78.9
śląskie	Konieczpol	II/294/1	SNG-SSG	niski	0.07	51.2
śląskie	Goleniowy	II/296/1	SNG-SSG	niski	0.13	45.8
śląskie	Żarnowiec	II/487/1	SNG-SSG	niski	0.12	56.8
śląskie	Wieprz	II/779/1	poniżej SNO	wysoki	0.19	52.9
śląskie	Tuczna	II/937/1	powyżej SSG	bardzo niski	0.10	28.6
śląskie	Świerklaniec	II/941/1	SNG-SSG	niski	0.23	55.2
śląskie	Żeliszewice	<u>II/953/1**</u>	poniżej SNO	wysoki	0.17	66.7
świętokrzyskie	Białowieża	I/336/5	SNG-SNO	umiarkowany	0.11	28.9
świętokrzyskie	Nałęczów	I/390/4	poniżej SNO	wysoki	0.07	50.0
świętokrzyskie	Kaplica	I/474/2	SNG-SNO	umiarkowany	0.04	71.4
świętokrzyskie	Bodzentyn	<u>II/1376/1**</u>	poniżej SNO	wysoki	0.34	33.3
świętokrzyskie	Ostrowiec Świętokrzyski	II/1382/1	poniżej SNO	wysoki	0.20	52.4
świętokrzyskie	Januszewice	II/1390/1	SNG-SSG	niski	0.27	84.2
świętokrzyskie	Kurozwęki	II/373/1	SNG-SNO	umiarkowany	0.04	38.3
świętokrzyskie	Chmielnik	II/377/1	SNG-SSG	niski	0.03	61.9
świętokrzyskie	Michałów	II/379/1	poniżej SNO	wysoki	0.23	47.8
świętokrzyskie	Wolica	<u>II/382/1**</u>	SNG-SSG	niski	0.24	39.4
świętokrzyskie	Skarbka	II/492/1	poniżej SNO	wysoki	0.15	60.0

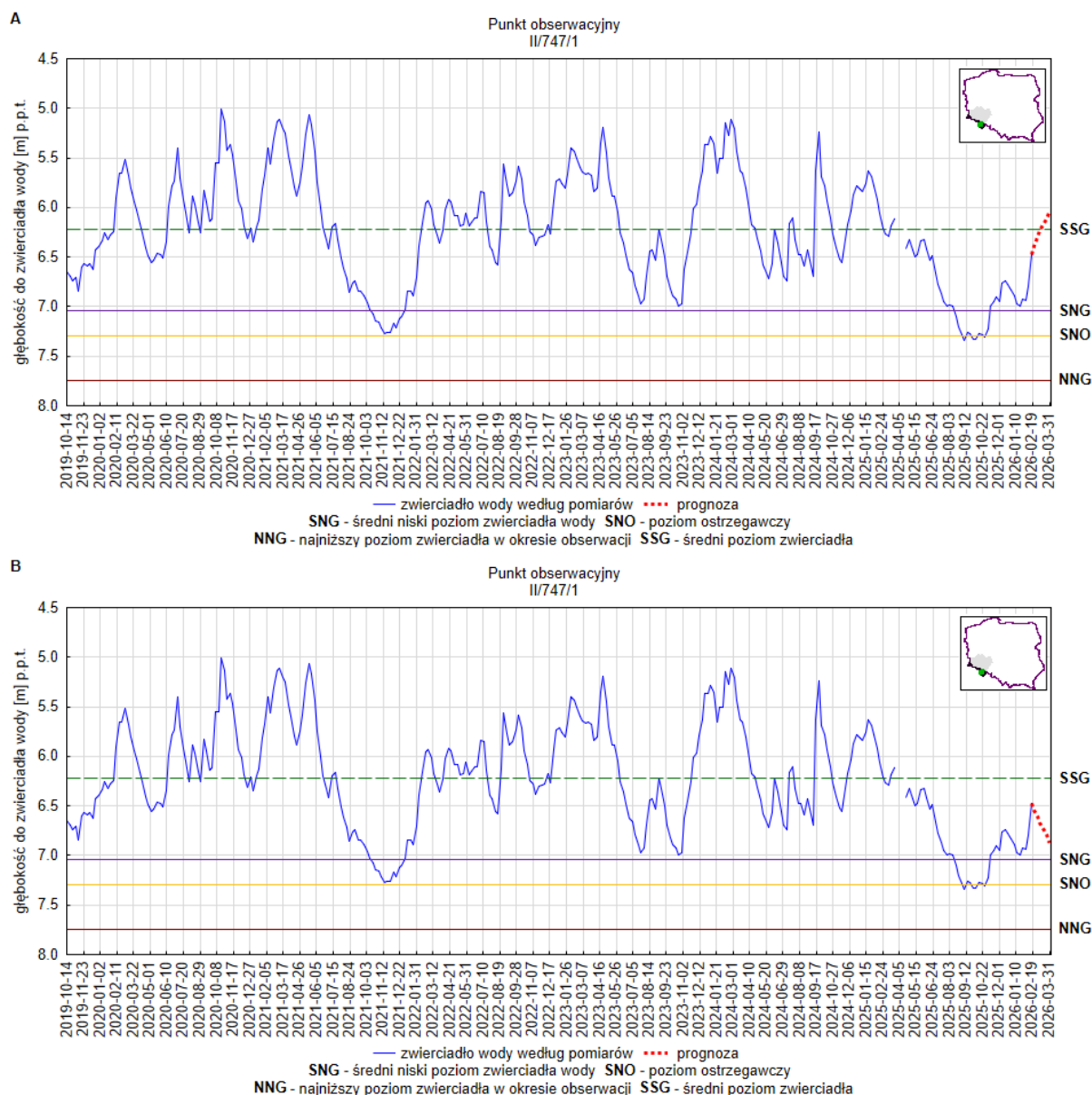
Województwo	Miejscowość	Nr punktu	Położenie zw. wody	Stopień zagrożenia	Śr. prędkość spadku zw. wody w marcu [m/m-c]	P [%]*
świętokrzyskie	Bocheniec	II/499/1	SNG-SNO	umiarkowany	0.12	53.6
świętokrzyskie	Ściegna	II/875/1	poniżej SNO	wysoki	0.30	39.3
świętokrzyskie	Kielce	II/876/1	poniżej SNO	wysoki	0.12	28.6
warmińsko-mazurskie	Doba	I/537/4**	powyżej SSG	bardzo niski	0.02	35.1
warmińsko-mazurskie	Mikołajki	II/1435/1	SNG-SNO	umiarkowany	0.01	21.4
warmińsko-mazurskie	Muszaki	II/1438/1	SNG-SSG	niski	0.02	15.0
warmińsko-mazurskie	Zieleniec	II/1440/1	SNG-SNO	umiarkowany	0.02	20.0
warmińsko-mazurskie	Pisanica	II/1451/1	SNG-SSG	niski	0.12	57.9
warmińsko-mazurskie	Kośmidry	II/1454/1	SNG-SSG	niski	0.04	27.8
warmińsko-mazurskie	Karczowiska Górne	II/1565/1	powyżej SSG	bardzo niski	0.17	75.0
warmińsko-mazurskie	Łoskajmy	II/1578/1	SNG-SNO	umiarkowany	0.03	26.3
warmińsko-mazurskie	Samborowo	II/217/1	SNG-SSG	niski	0.12	53.2
warmińsko-mazurskie	Bartoszyce	II/244/1	powyżej SSG	bardzo niski	0.07	53.1
warmińsko-mazurskie	Kobuły	II/250/1	poniżej SNO	wysoki	0.05	39.5
warmińsko-mazurskie	Buczyniec	II/256/1	powyżej SSG	bardzo niski	0.08	48.8
warmińsko-mazurskie	Groszkowo	II/986/1**	poniżej SNO	wysoki	0.04	40.0
wielkopolskie	Czachurki	I/428/4**	poniżej SNO	wysoki	0.02	30.2
wielkopolskie	Sepno	I/920/4**	powyżej SSG	bardzo niski	0.06	51.5
wielkopolskie	Łuszczewo	II/1273/1	SNG-SNO	umiarkowany	0.09	30.0
wielkopolskie	Sowia Góra	II/1324/1	SNG-SNO	umiarkowany	0.01	30.0
wielkopolskie	Konin	II/27/3	powyżej SSG	bardzo niski	0.06	68.9
wielkopolskie	Obrzycko	II/404/1	SNG-SNO	umiarkowany	0.14	45.7
wielkopolskie	Leszno	II/743/1	SNG-SSG	niski	0.02	19.2
wielkopolskie	Chachalnia	II/749/1	SNG-SNO	umiarkowany	0.03	44.0
wielkopolskie	Koło	II/902/1	SNG-SNO	umiarkowany	0.11	52.0
zachodniopomorskie	Świnoujście	I/1090/1	SNG-SSG	niski	0.07	66.7
zachodniopomorskie	Gądko	II/1032/1	SNG-SNO	umiarkowany	0.01	27.6
zachodniopomorskie	Wicewo	II/1041/1	powyżej SSG	bardzo niski	0.08	69.2
zachodniopomorskie	Krzypnica	II/1101/1	SNG-SSG	niski	0.05	57.1
zachodniopomorskie	Koszewko	II/1103/1	SNG-SNO	umiarkowany	0.03	23.5
zachodniopomorskie	Ognica	II/1105/1	powyżej SSG	bardzo niski	0.10	71.4
zachodniopomorskie	Okole	II/1344/1	poniżej SNO	wysoki	0.01	30.8
zachodniopomorskie	Szczecin	II/1702/1	SNG-SSG	niski	0.08	71.4
zachodniopomorskie	Krępsko	II/1759/1	SNG-SSG	niski	0.11	61.5
zachodniopomorskie	Imno	II/1800/1	poniżej SNO	wysoki	0.09	45.5
zachodniopomorskie	Biały Zdrój	II/1801/1	SNG-SNO	umiarkowany	0.02	63.6
zachodniopomorskie	Polanów	II/415/1	SNG-SNO	umiarkowany	0.03	63.6
zachodniopomorskie	Turowo	II/417/1**	poniżej SNO	wysoki	0.07	37.5
zachodniopomorskie	Rzędziny	II/469/1**	powyżej SSG	bardzo niski	0.03	29.4

* obliczone prawdopodobieństwo dla trendu spadkowego położenia zwierciadła w prognozowanym okresie, zgodnie ze scenariuszem B

** numer punktu, dla którego zamieszczono wykresy położenia zwierciadła wody w dalszej części opisu prognozy

Dla każdego województwa dla wybranych stacji hydrogeologicznych przedstawiono ilustrację graficzną w postaci wykresów z wynikami symulacji rozwoju sytuacji hydrogeologicznej według scenariuszy: A i B (Rys. 2-27). Zamieszczone wykresy obejmują jedynie fragment całego okresu obserwacji w danych punktach monitoringowych i przedstawiają zapis ograniczony do pomiarów z ostatnich sześciu lat.

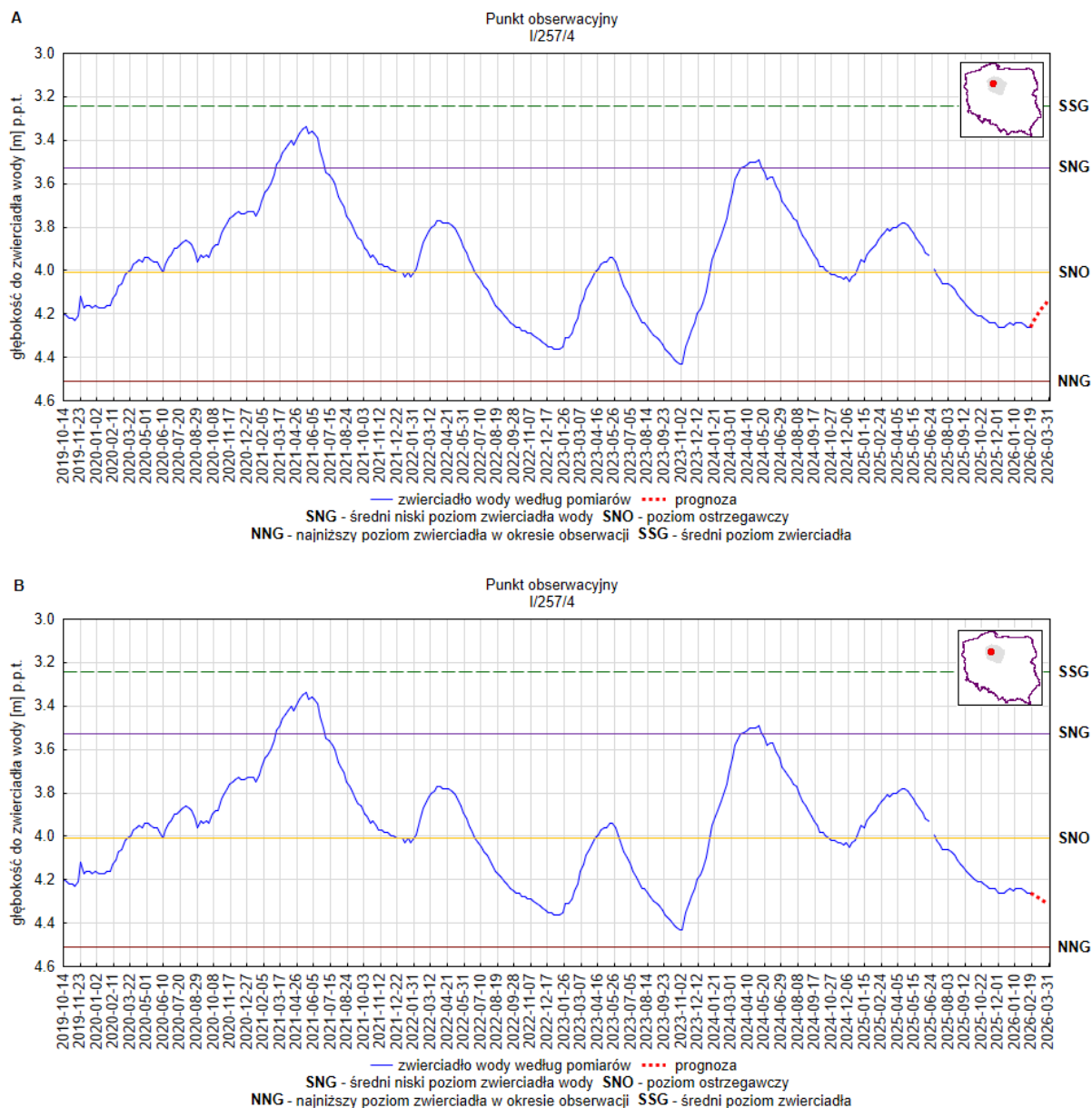
Województwo dolnośląskie



Rys. 2. Prognoza dotycząca stanu wód o zwierciadle swobodnym (gruntowych) na okres 01.03.2026 – 31.03.2026 r. – stacja hydrogeologiczna nr II/747/1 w miejscowości Stary Wielisław (woj. dolnośląskie). **A** – prognoza przy założeniu scenariusza A; **B** – prognoza przy założeniu scenariusza B

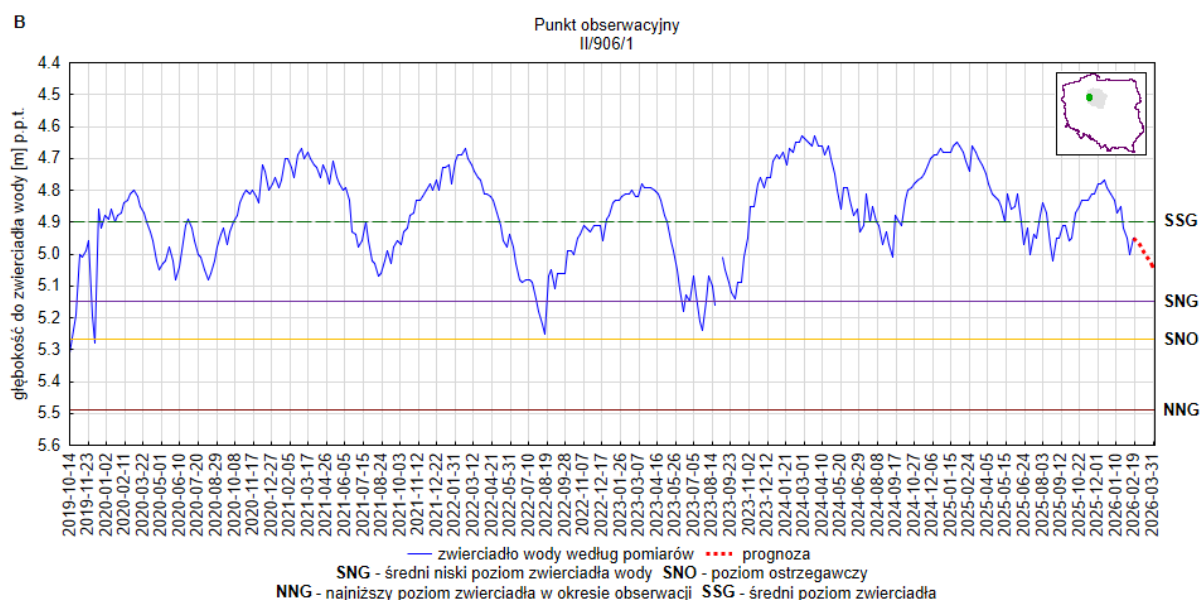
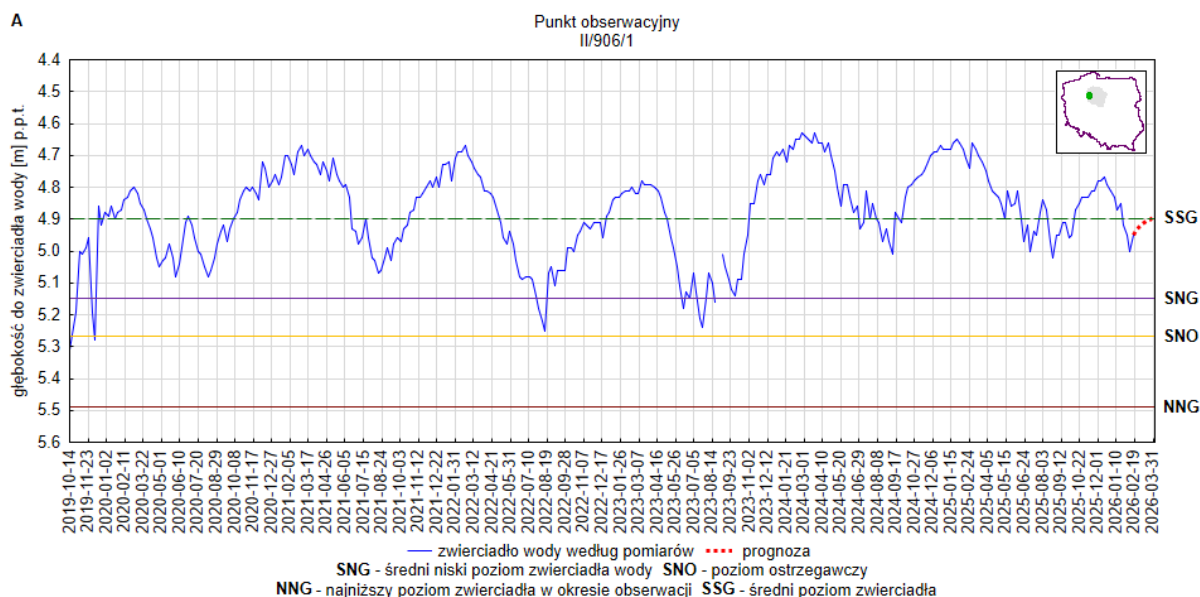
W punkcie obserwacyjnym nr II/747/1 w miejscowości Stary Wielisław w województwie dolnośląskim nie prognozuje się wystąpienia niżówki hydrogeologicznej (scenariusz A i B; rys. 2).

Województwo kujawsko-pomorskie



Rys. 3. Prognoza dotycząca stanu wód o zwierciadle swobodnym (gruntowych) na okres 01.03.2026 – 31.03.2026 r. – stacja hydrogeologiczna nr I/257/4 w miejscowości Jagodowo (woj. kujawsko-pomorskie). **A** – prognoza przy założeniu scenariusza A; **B** – prognoza przy założeniu scenariusza B

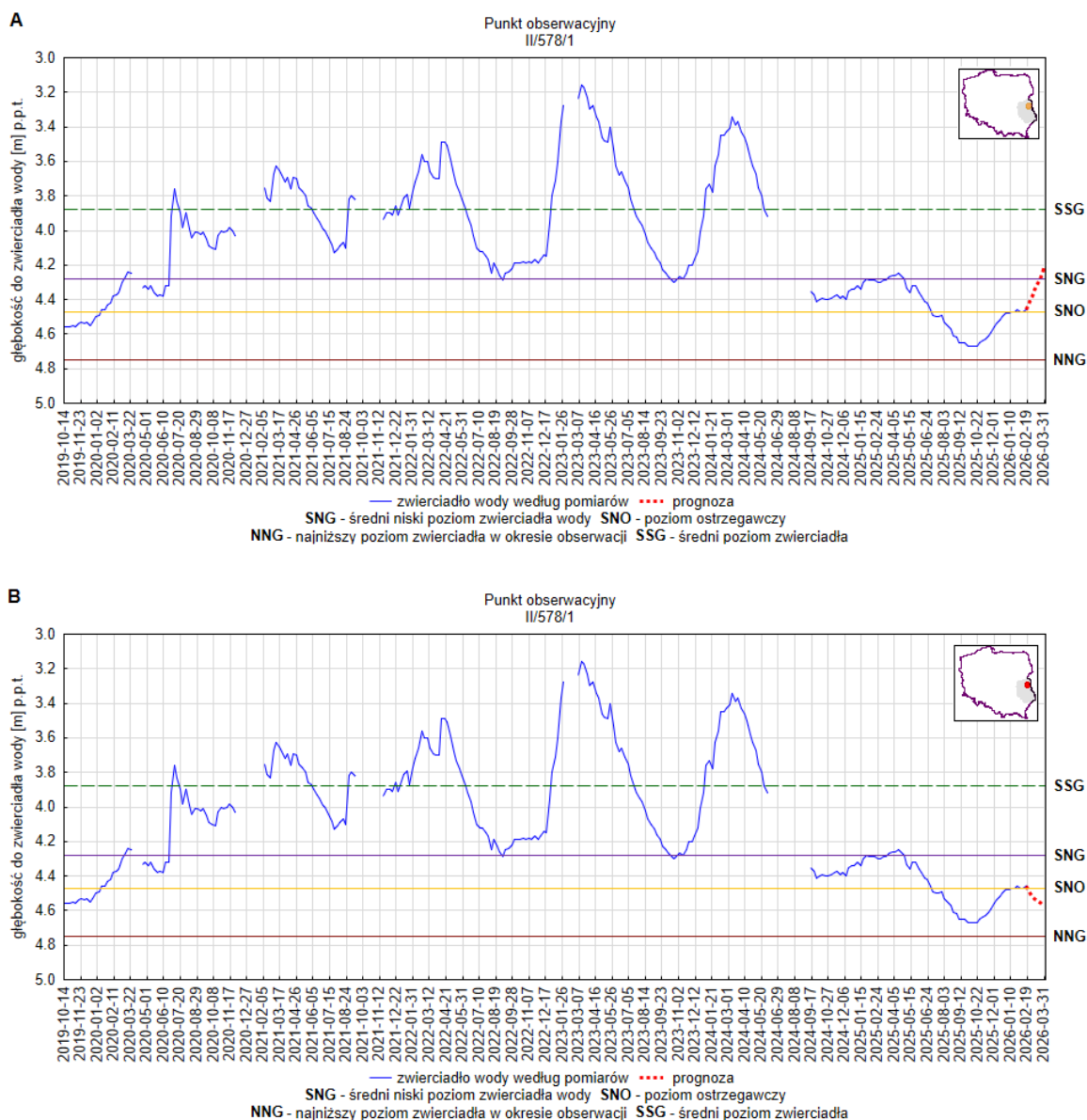
W punkcie obserwacyjnym nr I/257/4 w miejscowości Jagodowo w województwie kujawsko-pomorskim prognozuje się kontynuację niżówki hydrogeologicznej (scenariusz A i B; rys. 3).



Rys. 4. Prognoza dotycząca stanu wód o zwierciadle swobodnym (gruntowych) na okres 01.03.2026 – 31.03.2026 r. – stacja hydrogeologiczna nr II/906/1 w miejscowości Rozwarzyn (woj. kujawsko-pomorskie). **A** – prognoza przy założeniu scenariusza A; **B** – prognoza przy założeniu scenariusza B

W punkcie obserwacyjnym nr II/906/1 w miejscowości Rozwarzyn w województwie kujawsko-pomorskim nie prognozuje się wystąpienia niżówki hydrogeologicznej (scenariusz A i B; rys. 4).

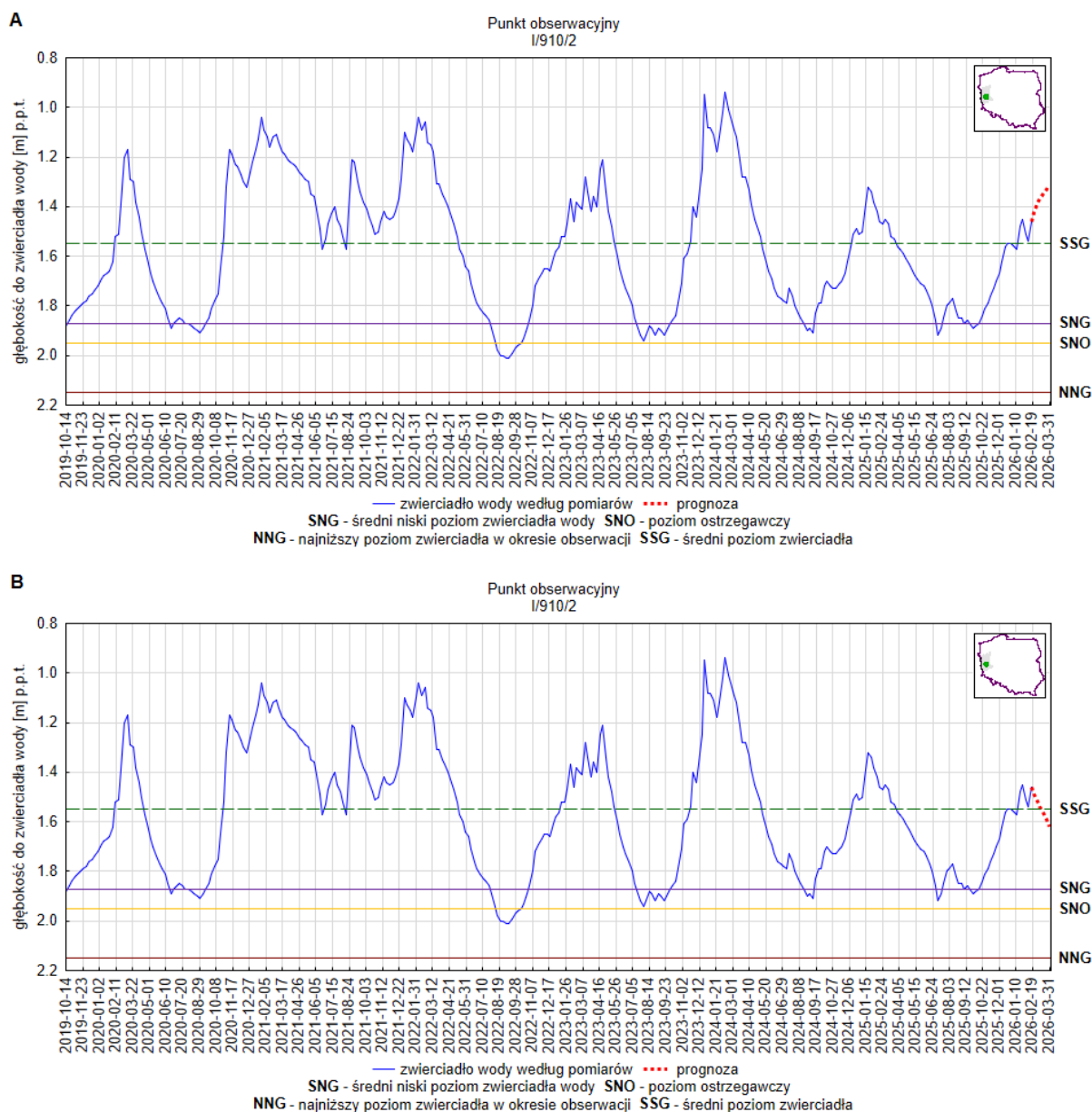
Województwo lubelskie



Rys. 5. Prognoza dotycząca stanu wód o zwierciadle swobodnym (gruntowych) na okres 01.03.2026 – 31.03.2026 r. – stacja hydrogeologiczna nr II/578/1 w miejscowości Podedwórze (woj. lubelskie).
A – prognoza przy założeniu scenariusza A; B – prognoza przy założeniu scenariusza B

W punkcie obserwacyjnym nr II/578/1 w miejscowości Podedwórze w województwie lubelskim prognozuje się wystąpienie niżówki hydrogeologicznej (scenariusz B; rys. 5).

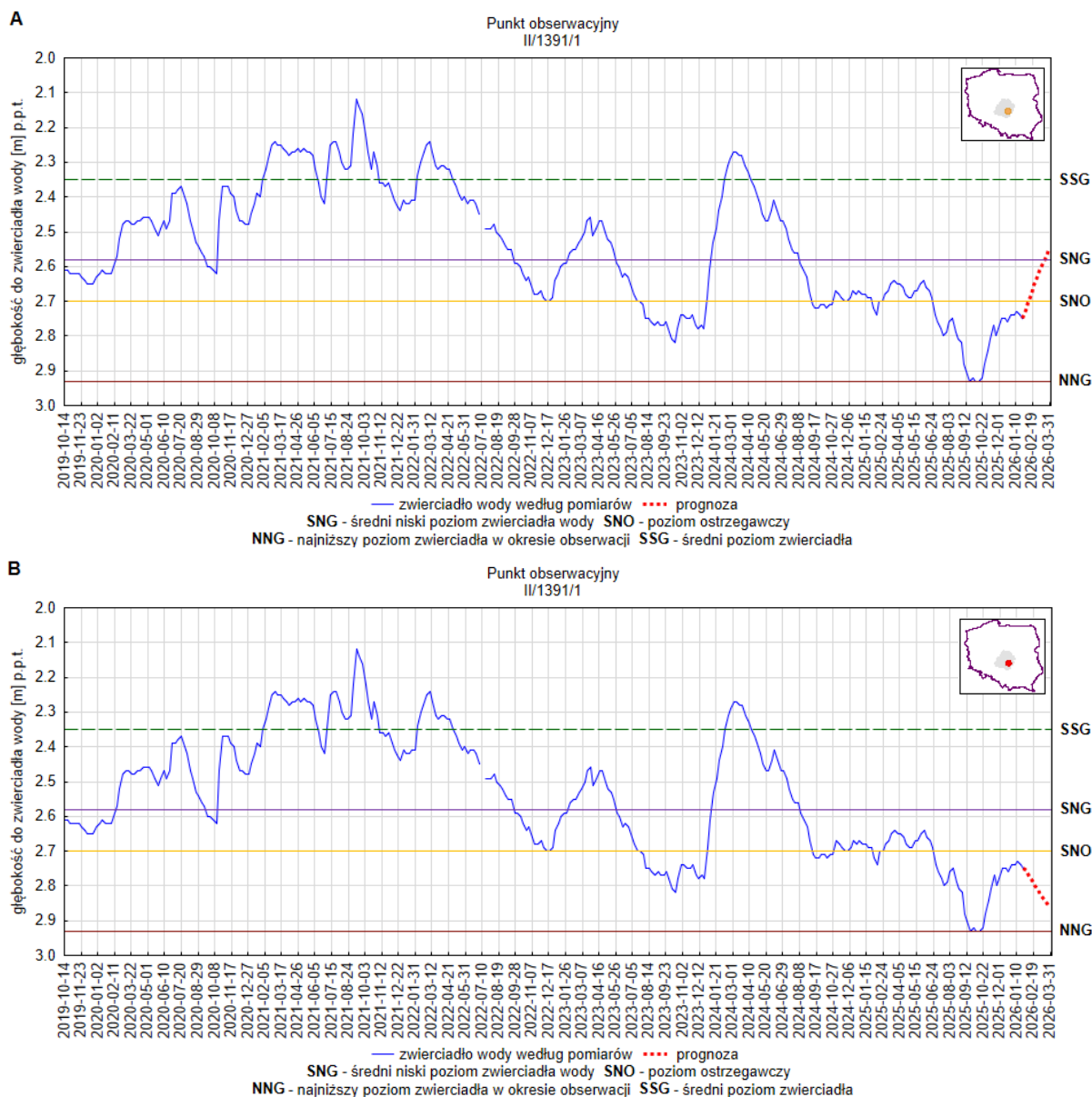
Województwo lubuskie



Rys. 6. Prognoza dotycząca stanu wód o zwierciadle swobodnym (gruntowych) na okres 01.03.2026 – 31.03.2026 r. – stacja hydrogeologiczna nr I/910/2 w miejscowości Wysokie (woj. lubuskie)
A – prognoza przy założeniu scenariusza A; **B** – prognoza przy założeniu scenariusza B

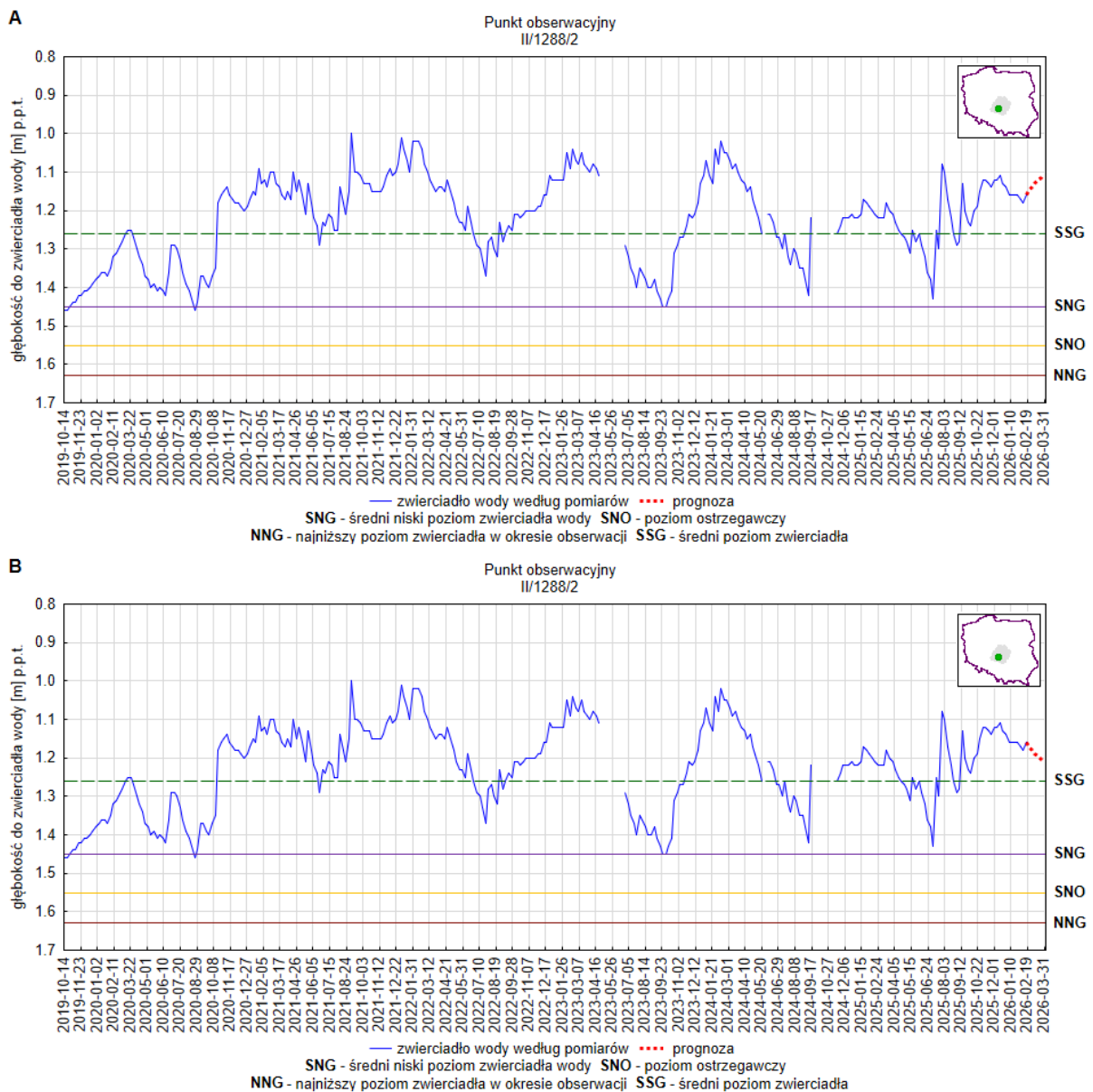
W punkcie obserwacyjnym nr I/910/2 w miejscowości Wysokie w województwie lubuskim nie prognozuje się wystąpienia niżówki hydrogeologicznej (scenariusz A i B; rys. 6).

Województwo łódzkie



Rys. 7. Prognoza dotycząca stanu wód o zwierciadle swobodnym (gruntowych) na okres 01.03.2026 – 31.03.2026 r. – stacja hydrogeologiczna nr II/1391/1 w miejscowości Sulejów (woj. łódzkie).
A – prognoza przy założeniu scenariusza A; B – prognoza przy założeniu scenariusza B

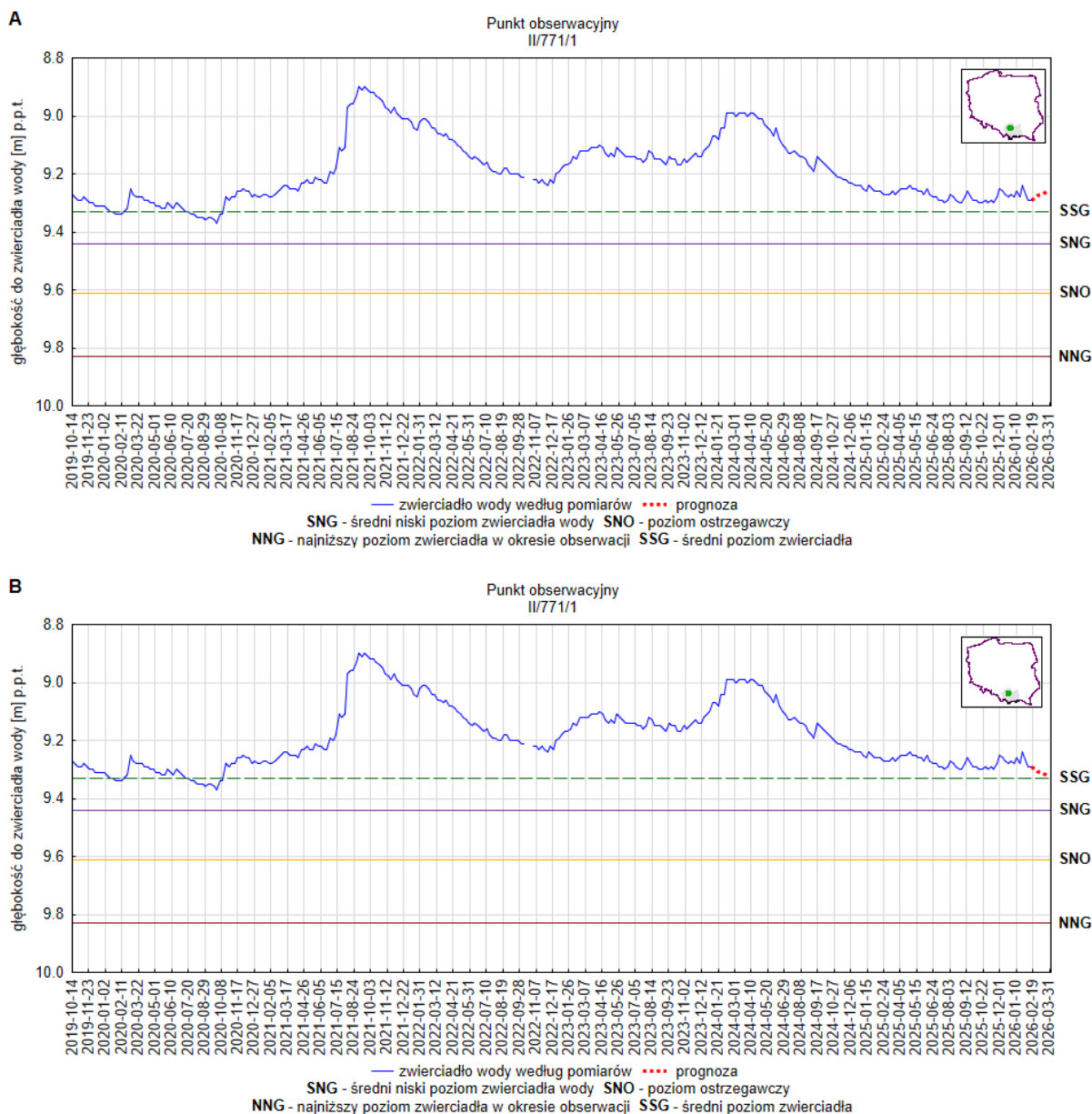
W punkcie obserwacyjnym nr II/1391/1 w miejscowości Sulejów w województwie łódzkim prognozuje się kontynuację niżówki hydrogeologicznej (scenariusz B; rys. 7).



Rys. 8. Prognoza dotycząca stanu wód o zwierciadle swobodnym (gruntowych) na okres 01.03.2026 – 31.03.2026 r. – stacja hydrogeologiczna nr II/1288/2 w miejscowości Marcelów (woj. łódzkie).
A – prognoza przy założeniu scenariusza A; B – prognoza przy założeniu scenariusza B

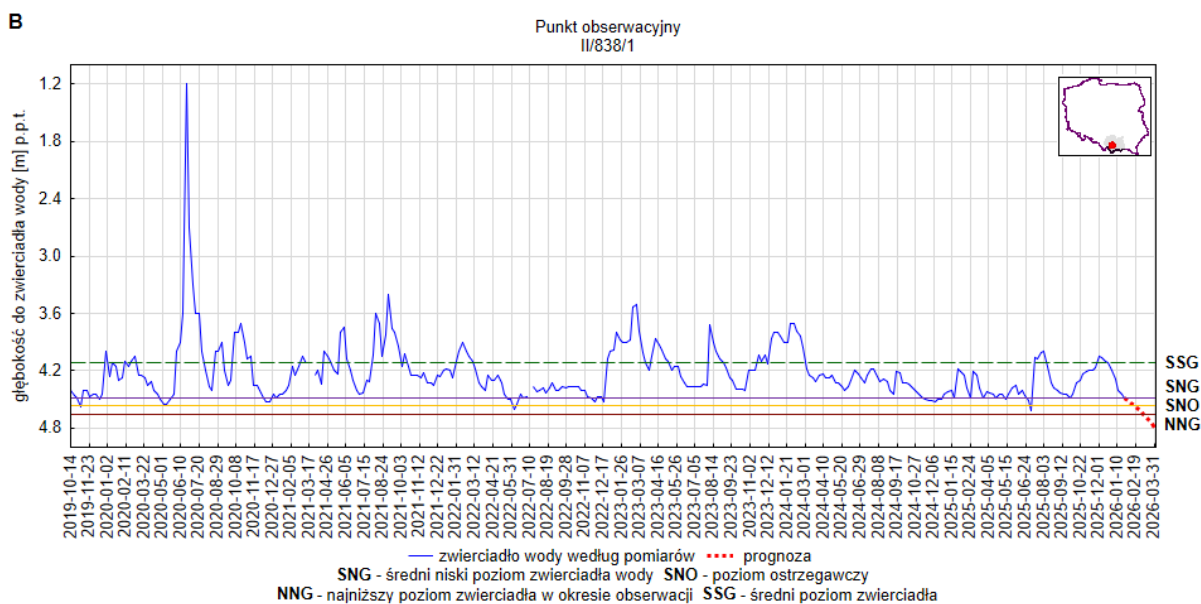
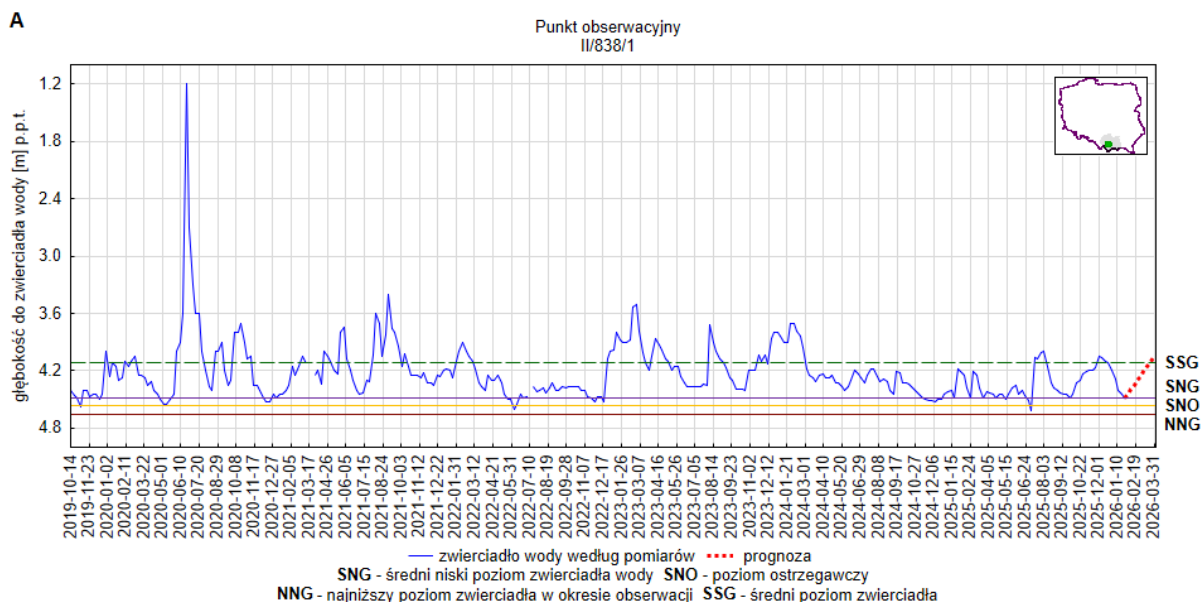
W punkcie obserwacyjnym nr II/1288/2 w miejscowości Marcelów w województwie łódzkim nie prognozuje się wystąpienia niżówki hydrogeologicznej (scenariusz A i B; rys. 8).

Województwo małopolskie



Rys. 9. Prognoza dotycząca stanu wód o zwierciadle swobodnym (gruntowych) na okres 01.03.2026 – 31.03.2026 r. – stacja hydrogeologiczna nr II/771/1 w miejscowości Kraków (woj. małopolskie). **A** – prognoza przy założeniu scenariusza A; **B** – prognoza przy założeniu scenariusza B

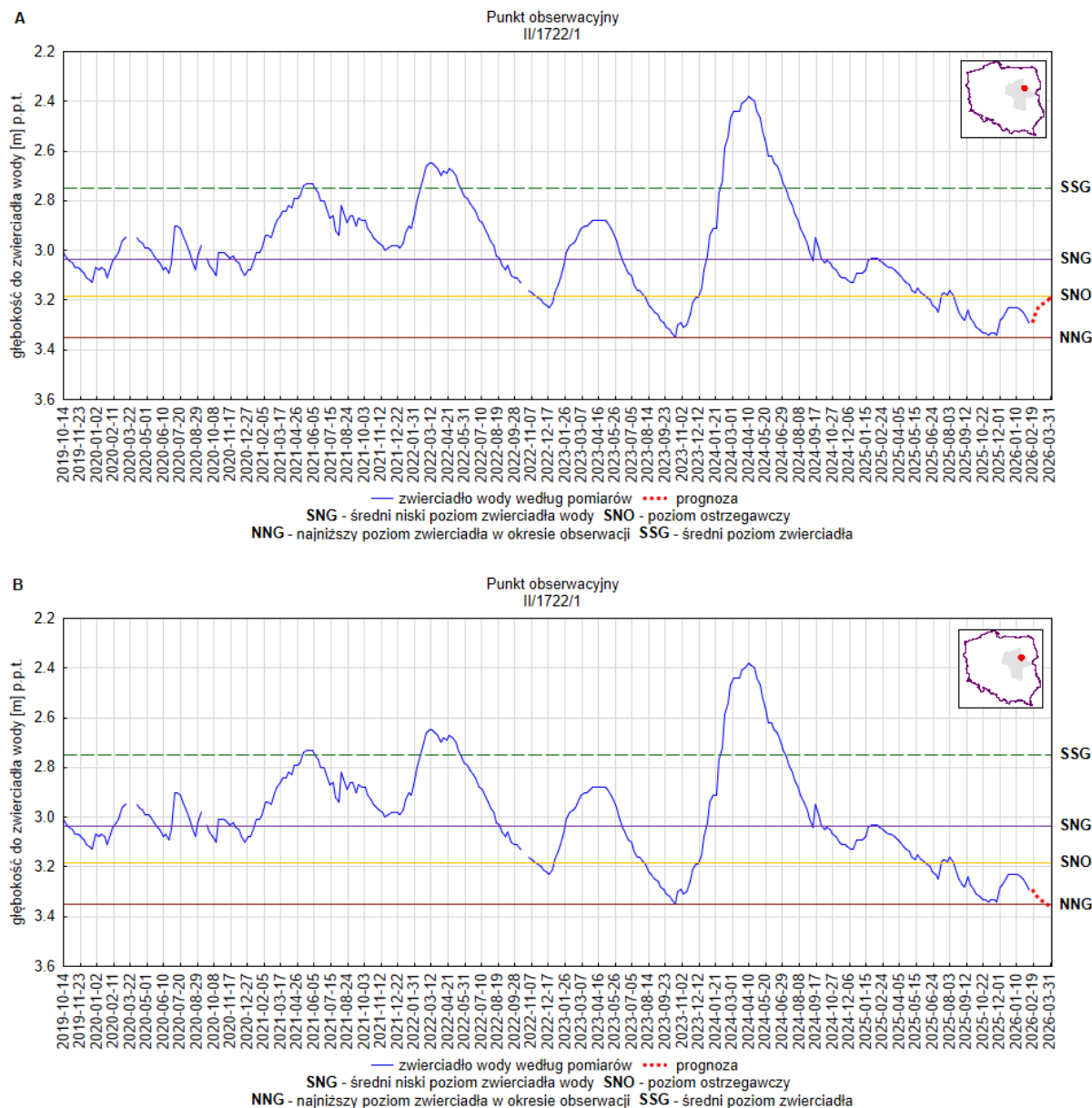
W punkcie obserwacyjnym nr II/771/1 w miejscowości Kraków w województwie małopolskim nie prognozuje się wystąpienia niżówki hydrogeologicznej (scenariusz A i B; rys. 9).



Rys. 10. Prognoza dotycząca stanu wód o zwierciadle swobodnym (gruntowych) na okres 01.03.2026 – 31.03.2026 r. – stacja hydrogeologiczna nr II/838/1 w miejscowości Pcim (woj. małopolskie). **A** – prognoza przy założeniu scenariusza A; **B** – prognoza przy założeniu scenariusza B

W punkcie obserwacyjnym nr II/838/1 w miejscowości Pcim w województwie małopolskim prognozuje się wystąpienie niżówki hydrogeologicznej (scenariusz B; rys. 10).

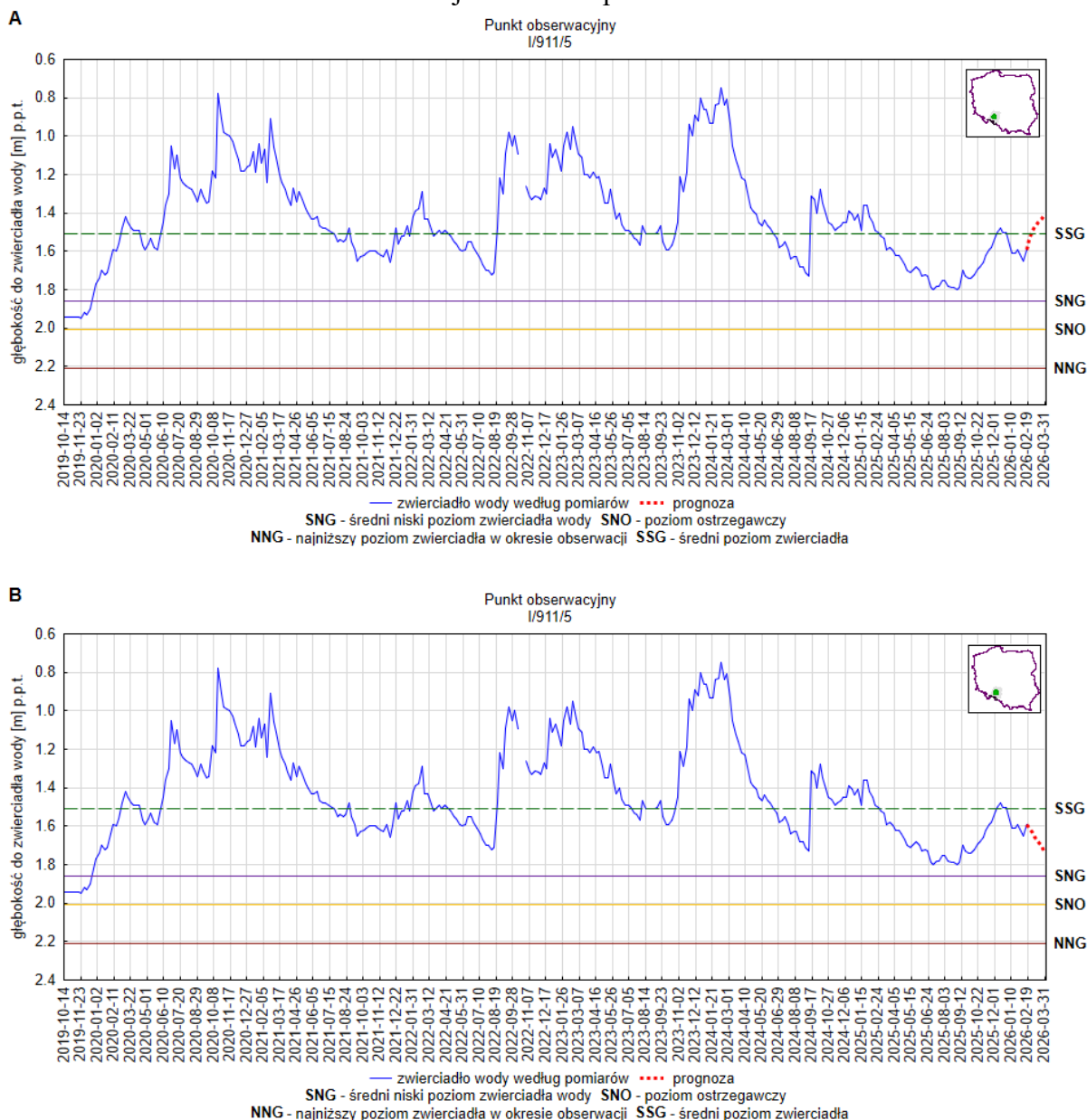
Województwo mazowieckie



Rys. 11. Prognoza dotycząca stanu wód o zwierciadle swobodnym (gruntowych) na okres 01.03.2026 – 31.03.2026 r. – stacja hydrogeologiczna nr II/1722/1 w miejscowości Nagoszewo (woj. mazowieckie).
A – prognoza przy założeniu scenariusza A; **B** – prognoza przy założeniu scenariusza B

W punkcie obserwacyjnym nr II/1722/1 w miejscowości Nagoszewo w województwie mazowieckim prognozuje się kontynuację niżówki hydrogeologicznej (scenariusz A i B; rys. 11).

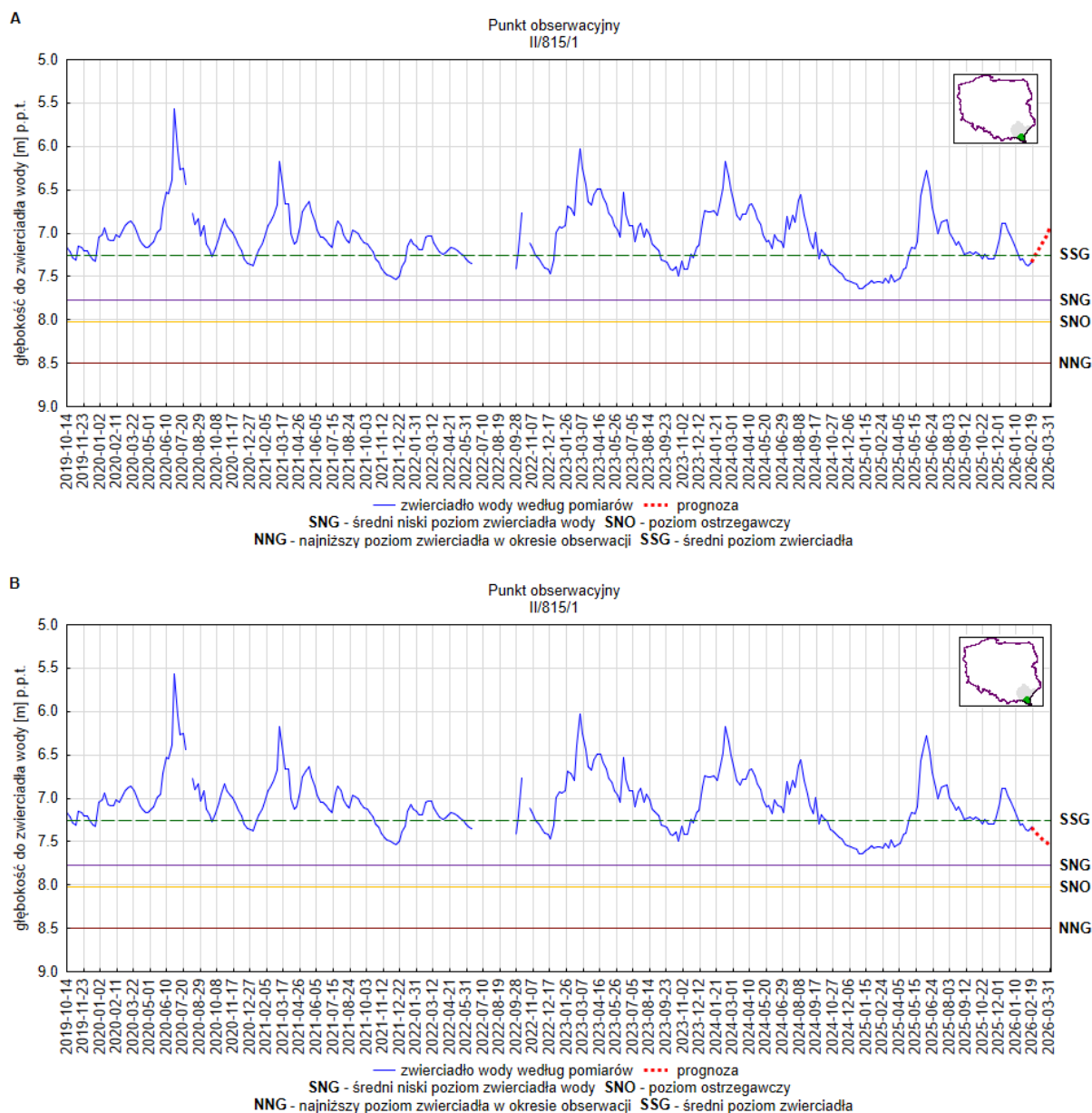
Województwo opolskie



Rys. 12. Prognoza dotycząca stanu wód o zwierciadle swobodnym (gruntowych) na okres 01.03.2026 – 31.03.2026 r. – stacja hydrogeologiczna nr I/911/5 w miejscowości Wrzoski (woj. opolskie).
A – prognoza przy założeniu scenariusza A; B – prognoza przy założeniu scenariusza B

W punkcie obserwacyjnym I/911/5 w miejscowości Wrzoski w województwie opolskim nie prognozuje się wystąpienia niżówki hydrogeologicznej (scenariusz A i B; rys. 12).

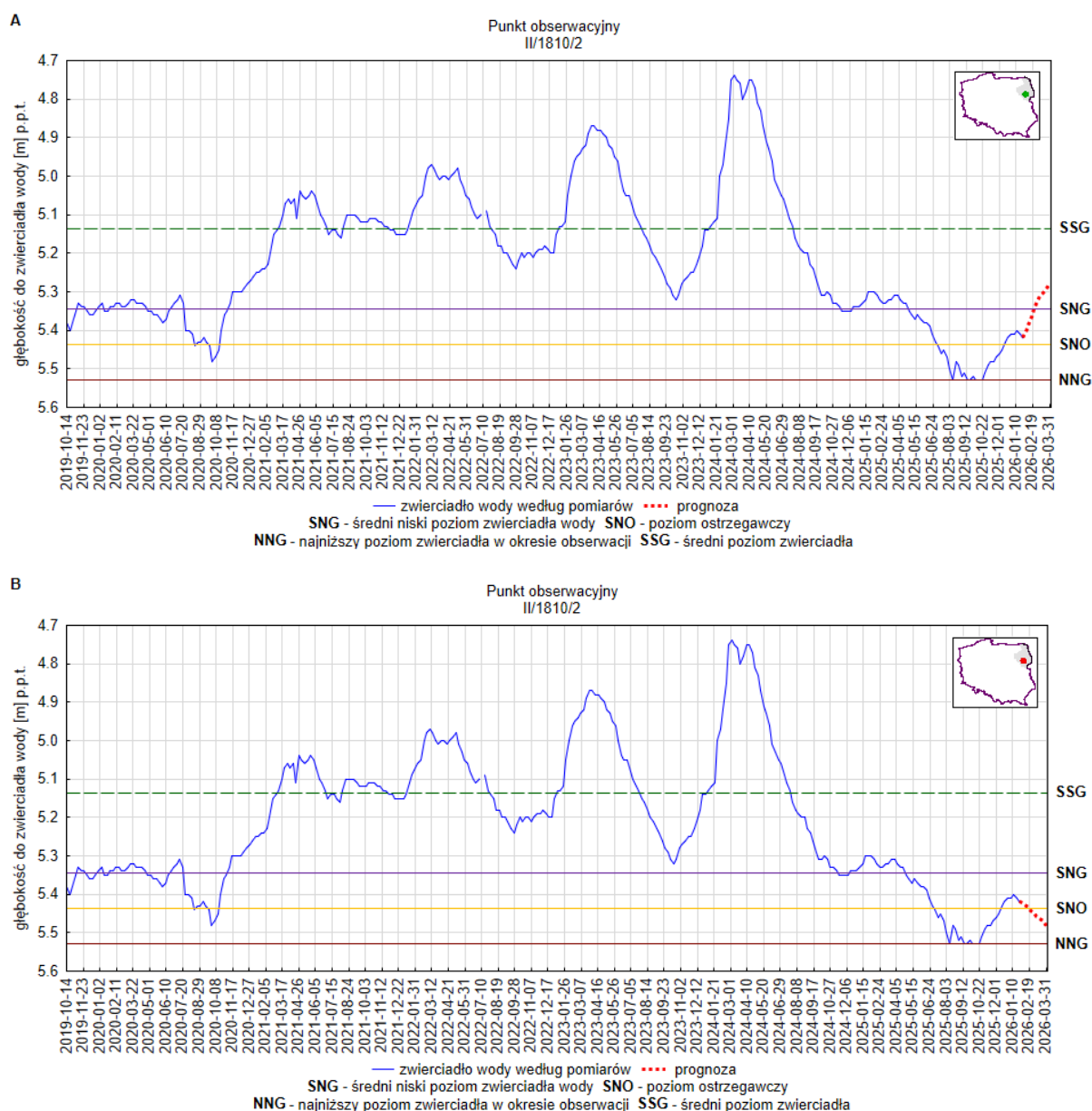
Województwo podkarpackie



Rys. 13. Prognoza dotycząca stanu wód o zwierciadle swobodnym (gruntowych) na okres 01.03.2026 – 31.03.2026 r. – stacja hydrogeologiczna nr II/815/1 w miejscowości Lesko (woj. podkarpackie). **A** – prognoza przy założeniu scenariusza A; **B** – prognoza przy założeniu scenariusza B

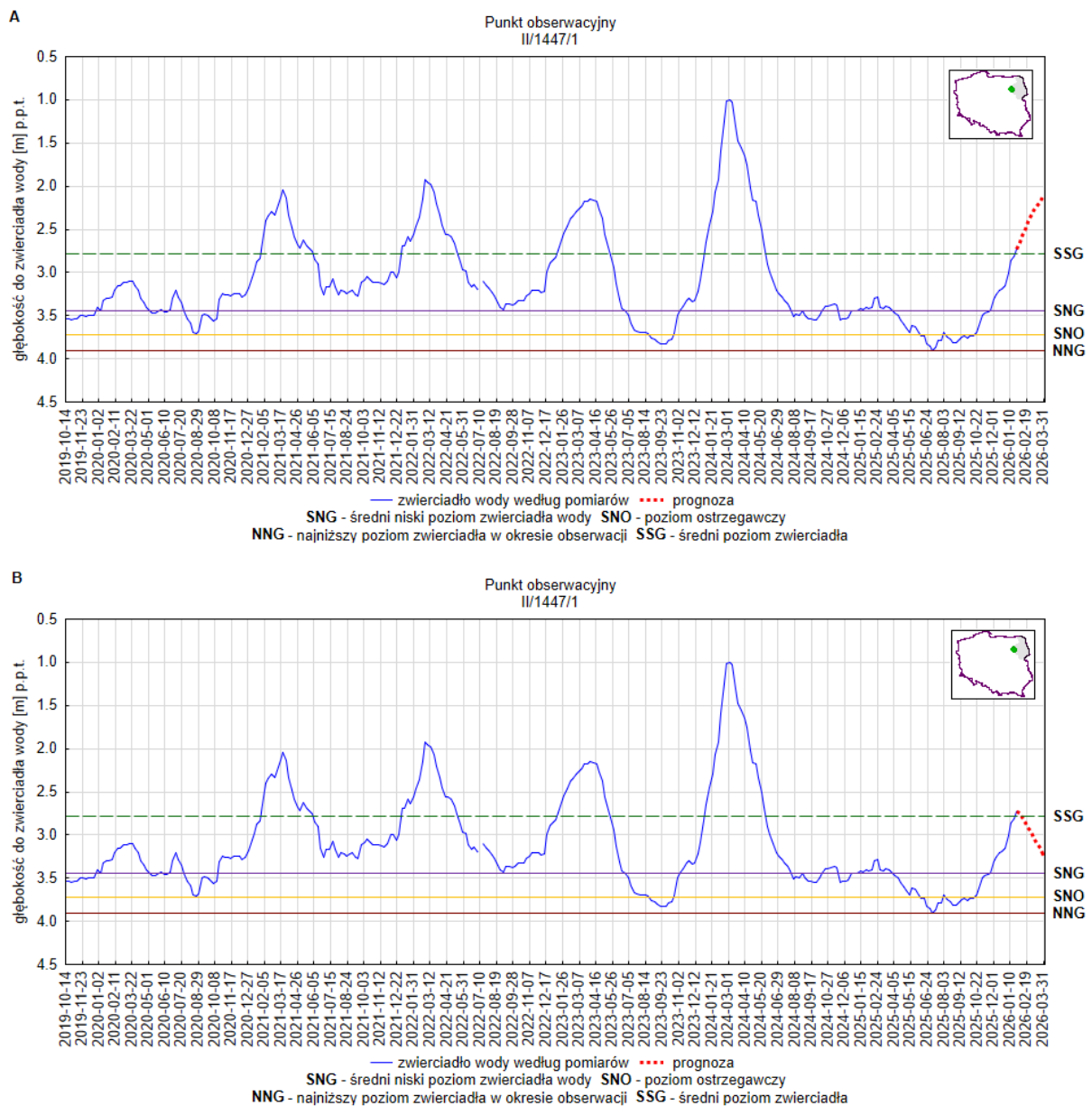
W punkcie obserwacyjnym nr II/815/1 w miejscowości Lesko w województwie podkarpackim nie prognozuje się wystąpienia niżówki hydrogeologicznej (scenariusz A i B; rys. 13).

Województwo podlaskie



Rys. 14. Prognoza dotycząca stanu wód o zwierciadle swobodnym (gruntowych) na okres 01.03.2026 – 31.03.2026 r.- stacja hydrogeologiczna nr II/1810/2 w miejscowości Liza Stara (woj. podlaskie).
A – prognoza przy założeniu scenariusza A; B – prognoza przy założeniu scenariusza B

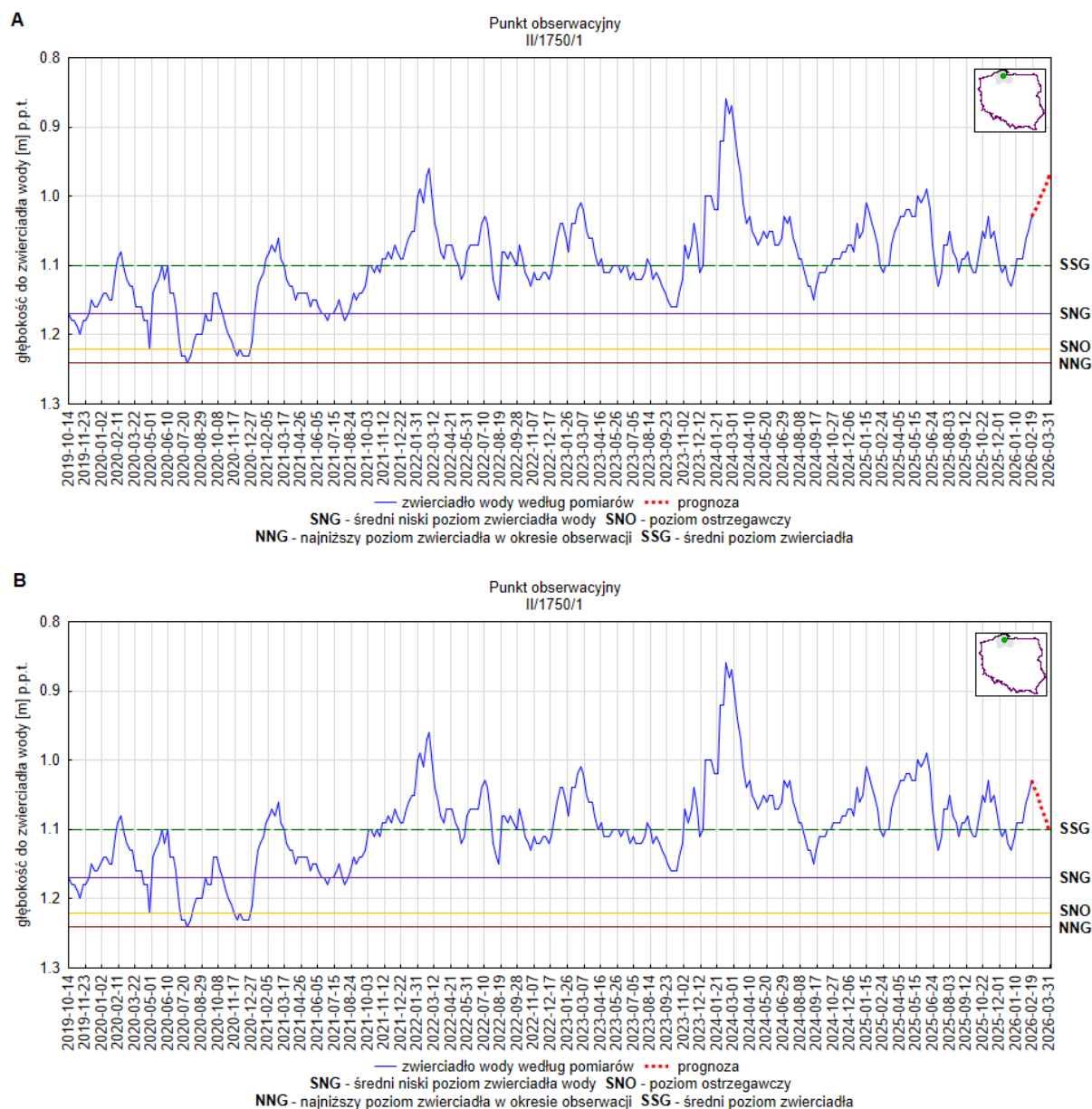
W punkcie obserwacyjnym II/1810/2 w miejscowości Liza Stara w województwie podlaskim prognozuje się wystąpienie niżówki hydrogeologicznej (scenariusz B; rys. 14).



Rys. 15. Prognoza dotycząca stanu wód o zwierciadle swobodnym (gruntowych) na okres 01.03.2026 – 31.03.2026 r.- stacja hydrogeologiczna nr II/1447/1 w miejscowości Morgowniki (woj. podlaskie).
A – prognoza przy założeniu scenariusza A; B – prognoza przy założeniu scenariusza B

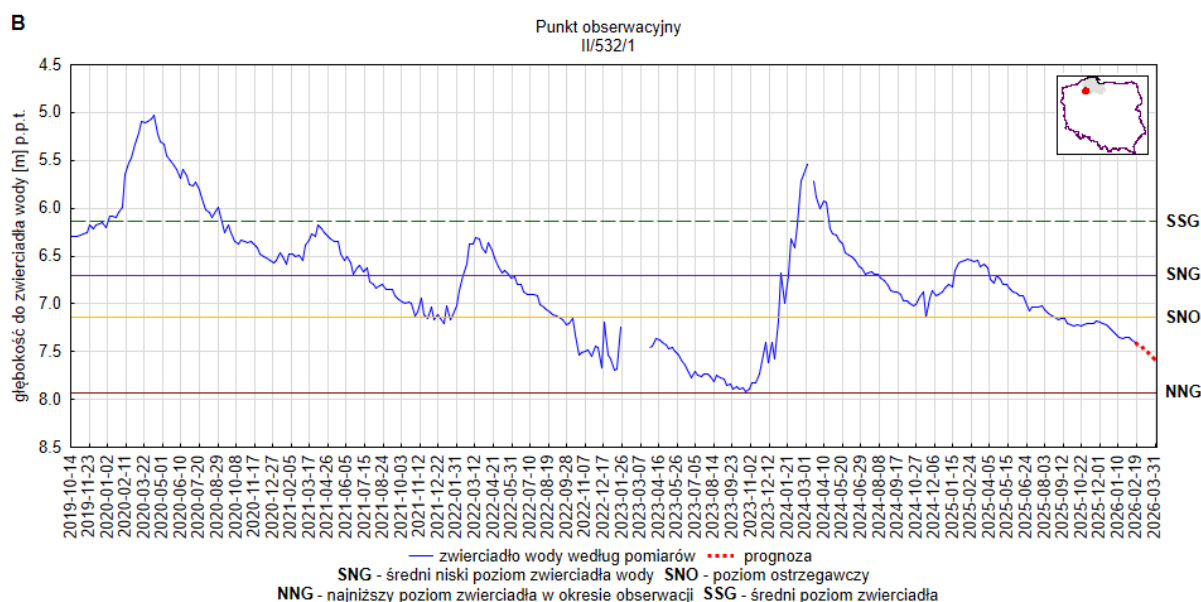
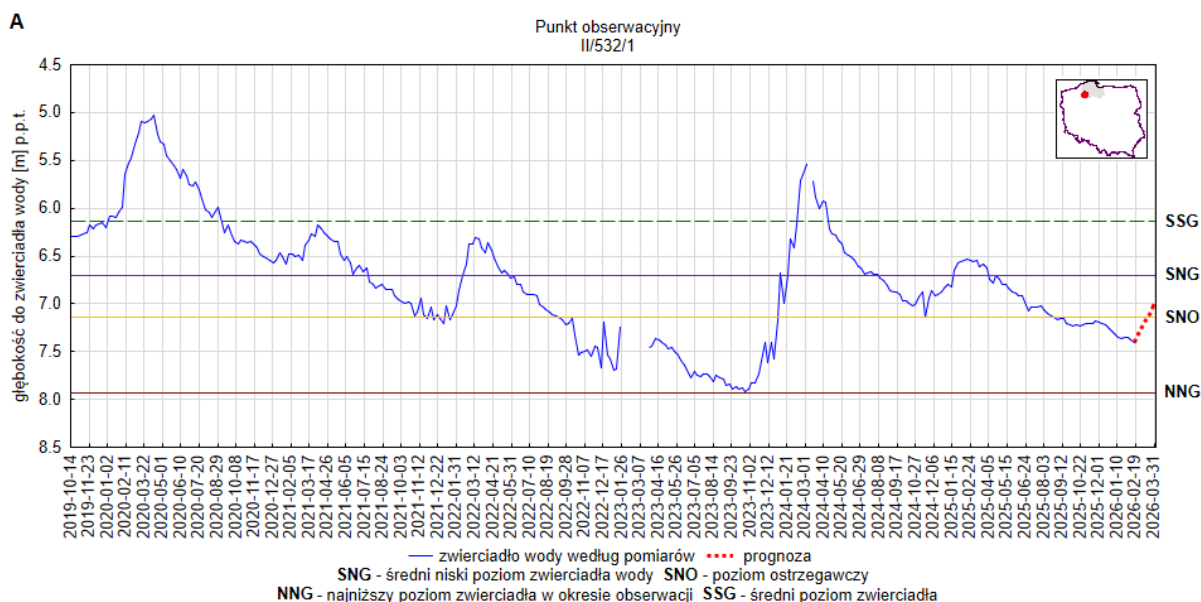
W punkcie obserwacyjnym II/1447/1 w miejscowości Morgowniki w województwie podlaskim nie prognozuje się wystąpienia niżówki hydrogeologicznej (scenariusz A i B; rys. 15).

Województwo pomorskie



Rys. 16. Prognoza dotycząca stanu wód o zwierciadle swobodnym (gruntowych) na okres 01.03.2026 -31.03.2026 r. – stacja hydrogeologiczna nr II/1750/1 w miejscowości Borucino (woj. pomorskie). **A** – prognoza przy założeniu scenariusza A; **B** – prognoza przy założeniu scenariusza B

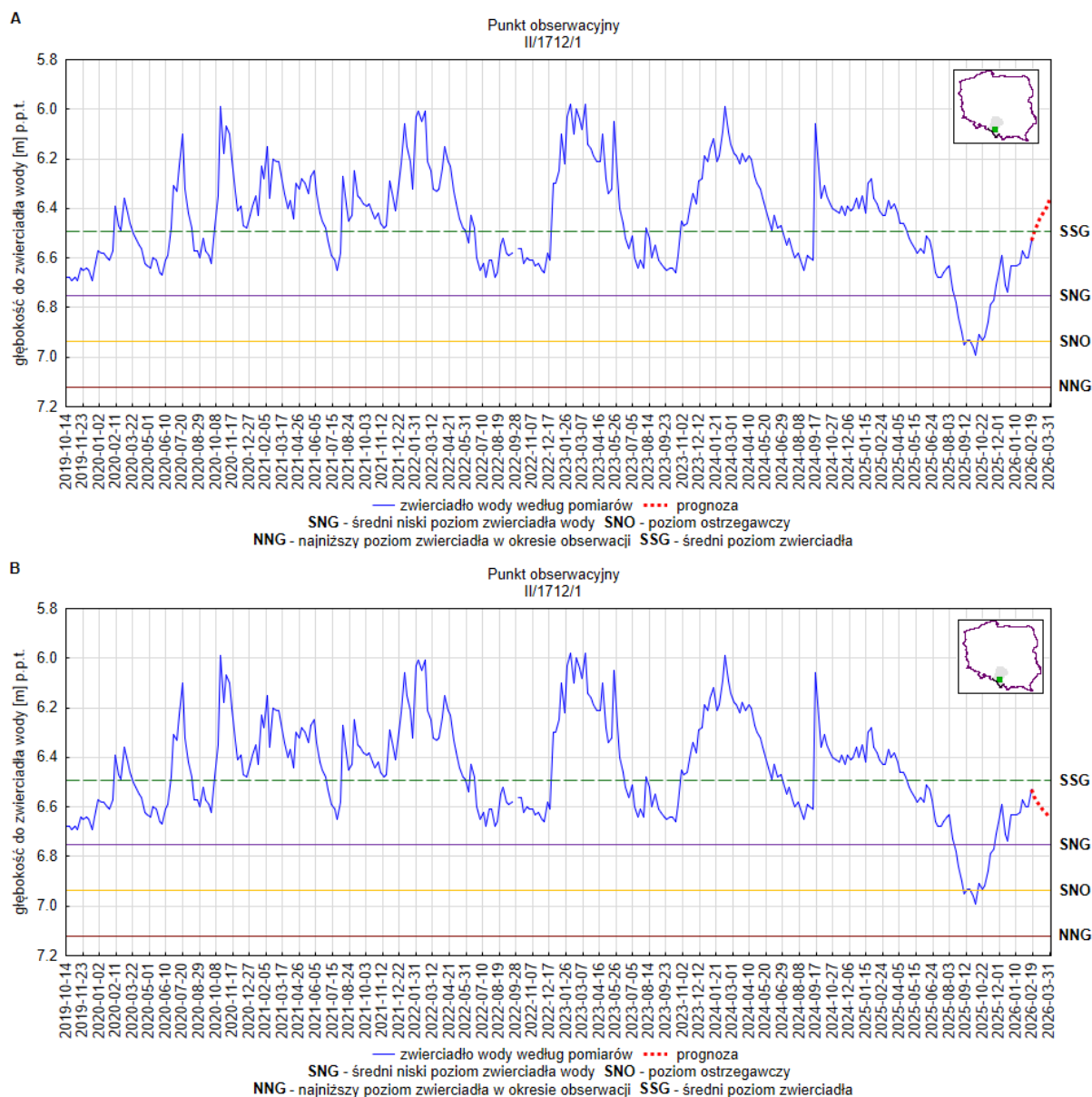
W punkcie obserwacyjnym nr II/1750/1 w miejscowości Borucino w województwie pomorskim nie prognozuje się wystąpienia niżówki hydrogeologicznej (scenariusz A i B; rys. 16).



Rys. 17. Prognoza dotycząca stanu wód o zwierciadle swobodnym (gruntowych) na okres 01.03.2026 -31.03.2026 r. – stacja hydrogeologiczna nr II/532/1 w miejscowości Rzeczenica (woj. pomorskie).
A – prognoza przy założeniu scenariusza A; B – prognoza przy założeniu scenariusza B

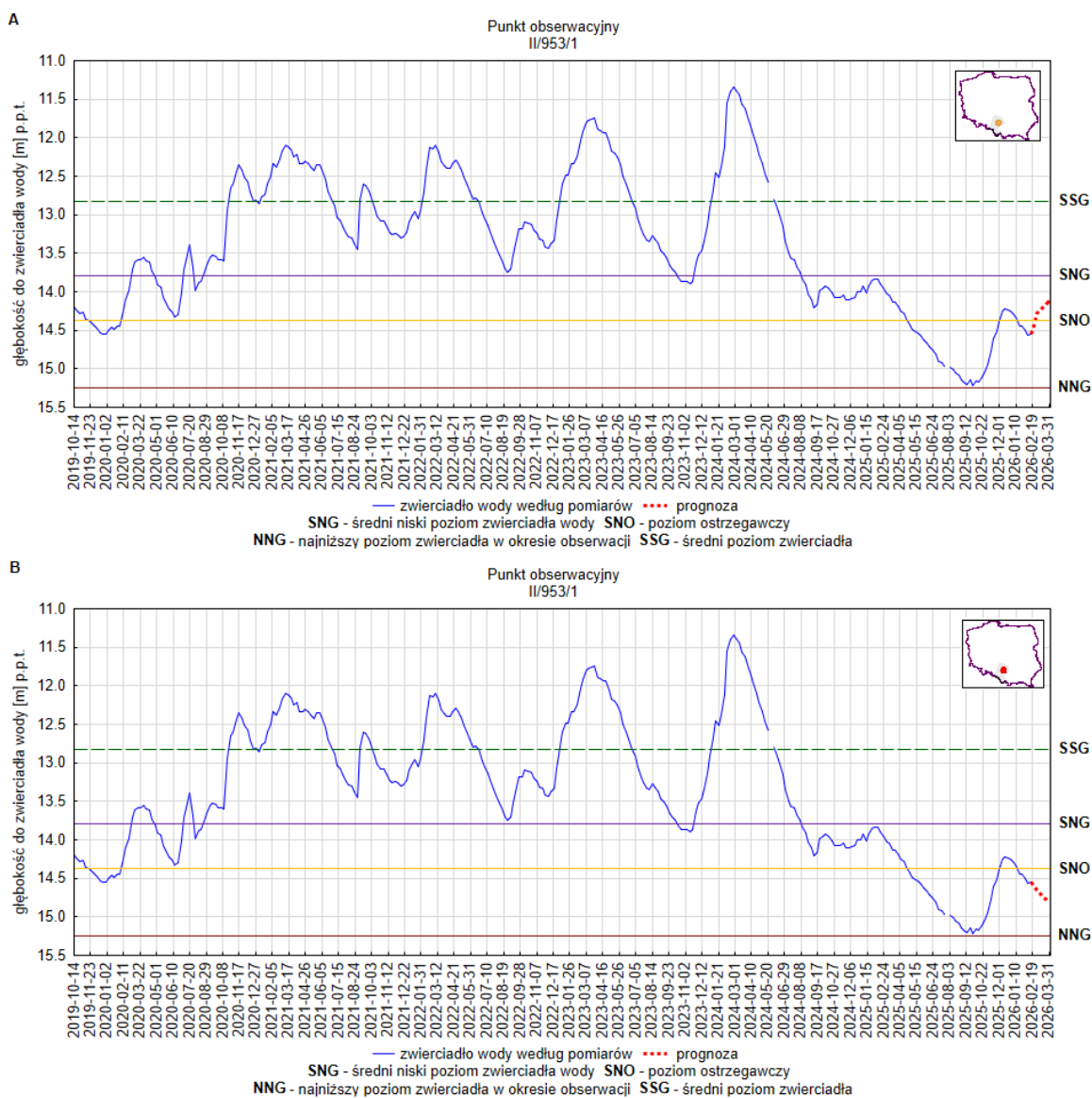
W punkcie obserwacyjnym nr II/532/1 w miejscowości Rzeczenica w województwie pomorskim prognozuje się kontynuację niżówki hydrogeologicznej (scenariusz B; rys. 17).

Województwo śląskie



Rys. 18 Prognoza dotycząca stanu wód o zwierciadle swobodnym (gruntowych) na okres 01.03.2026 – 31.03.2026 r. – stacja hydrogeologiczna nr II/1712/1 w miejscowości Piasek (woj. śląskie). **A** – prognoza przy założeniu scenariusza A; **B** – prognoza przy założeniu scenariusza B

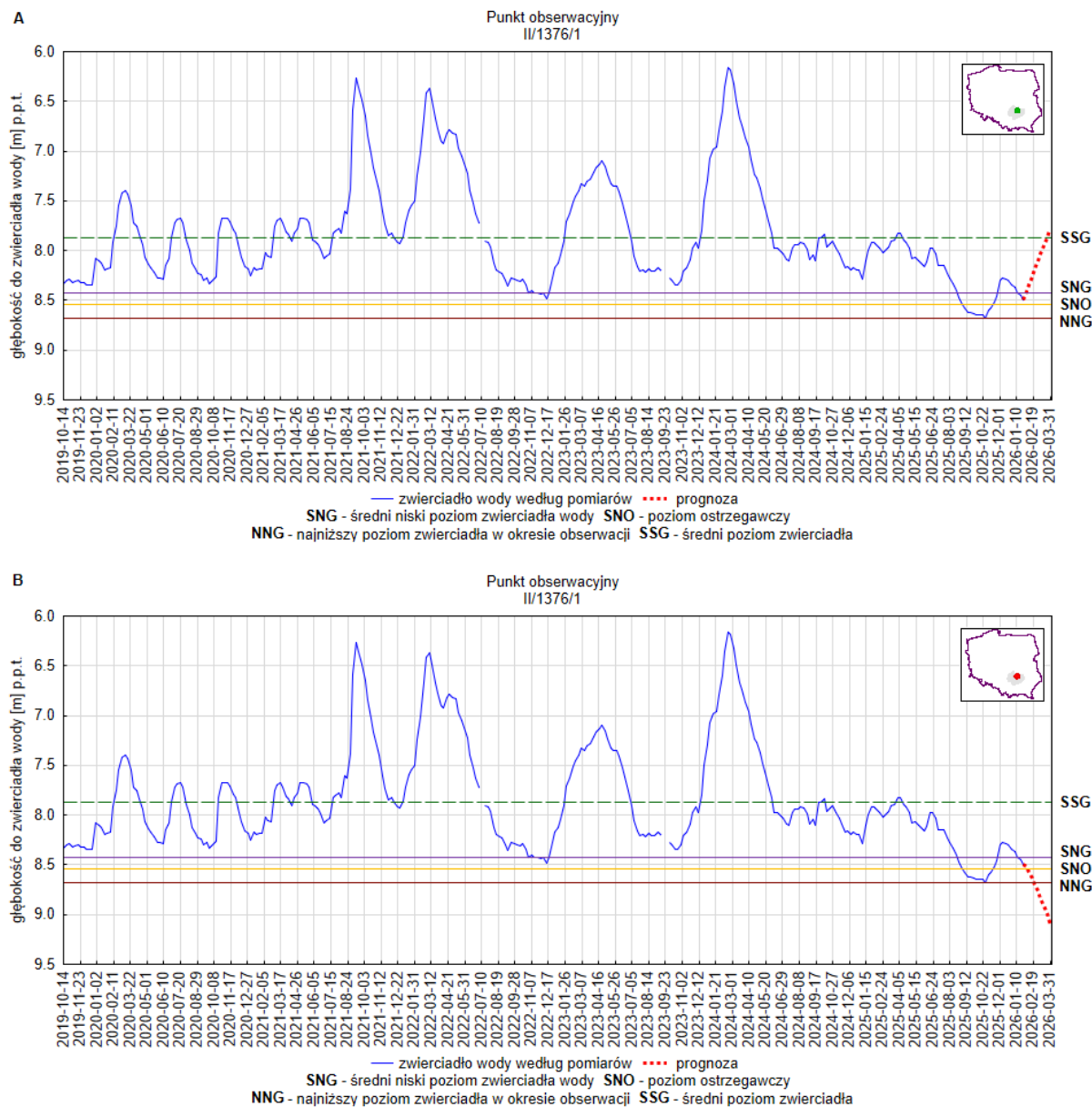
W punkcie obserwacyjnym nr II/1712/1 w miejscowości Piasek w województwie śląskim nie prognozuje się wystąpienia niżówki hydrogeologicznej (scenariusz A i B; rys. 18).



Rys. 19 Prognoza dotycząca stanu wód o zwierciadle swobodnym (gruntowych) na okres 01.03.2026 – 31.03.2026 r. – stacja hydrogeologiczna nr II/953/1 w miejscowości Żeliszawice (woj. śląskie).
A – prognoza przy założeniu scenariusza A; **B** - prognoza przy założeniu scenariusza B

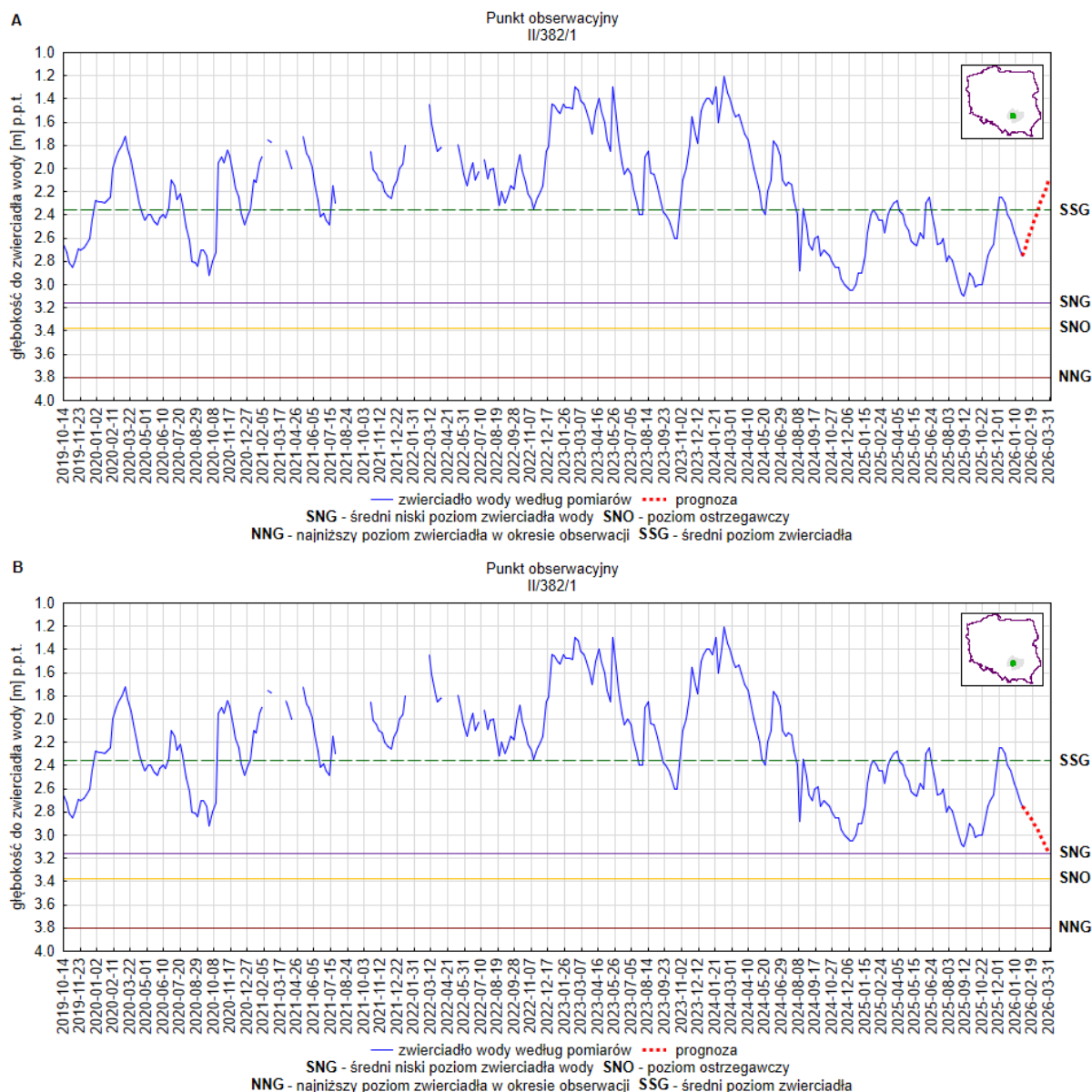
W punkcie obserwacyjnym nr II/953/1 w miejscowości Żeliszawice w województwie śląskim prognozuje się kontynuację niżówki hydrogeologicznej (scenariusz B; rys. 19).

Województwo świętokrzyskie



Rys. 20. Prognoza dotycząca stanu wód o zwierciadle swobodnym (gruntowych) na okres 01.03.2026 – 31.03.2026 r. – stacja hydrogeologiczna nr II/1376/1 w miejscowości Bodzentyn (woj. świętokrzyskie). **A** – prognoza przy założeniu scenariusza A; **B** – prognoza przy założeniu scenariusza B

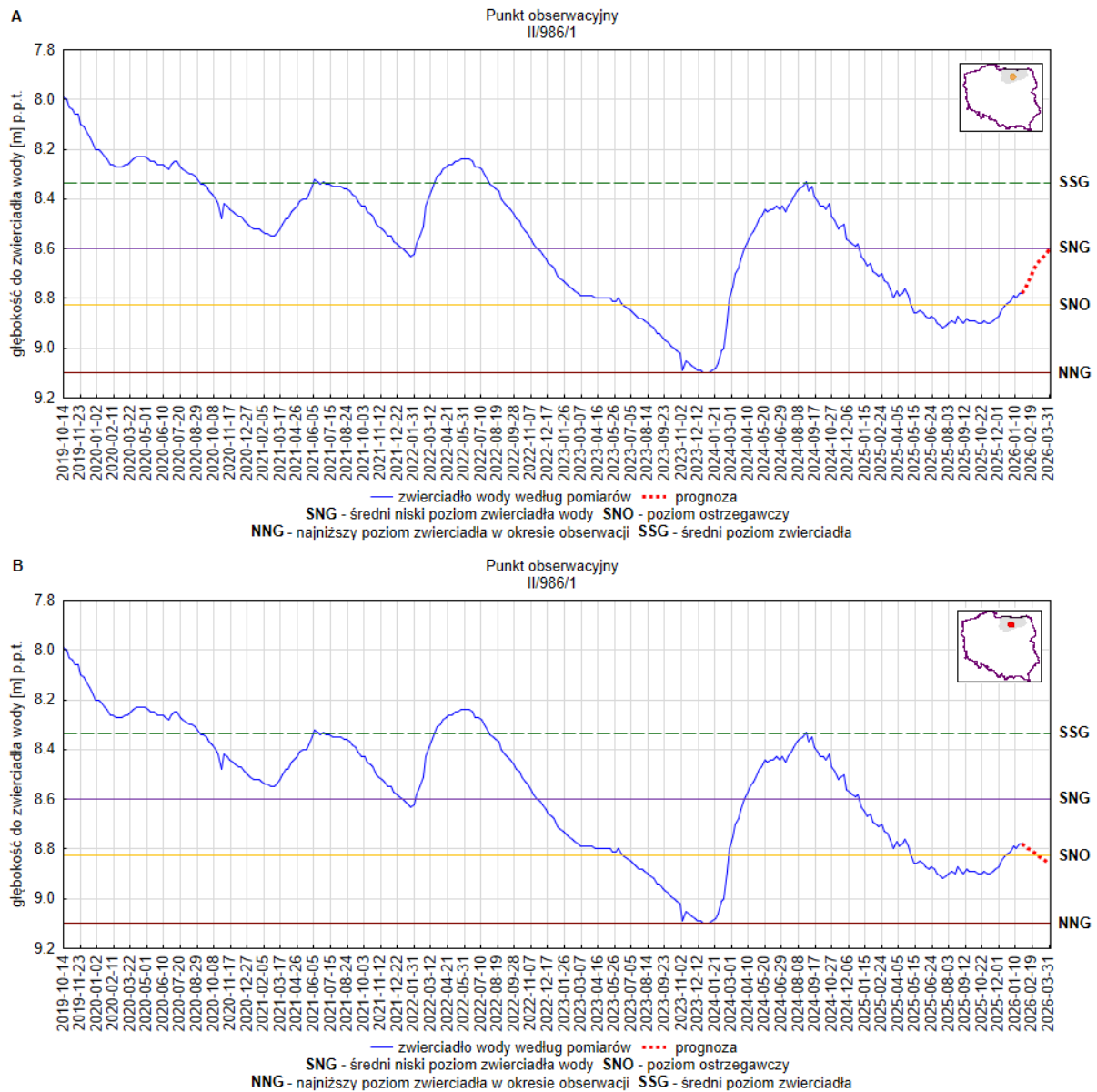
W punkcie obserwacyjnym nr II/1376/1 w miejscowości Bodzentyn w województwie świętokrzyskim prognozuje się wystąpienie niżówki hydrogeologicznej (scenariusz B; rys. 20).



Rys. 21. Prognoza dotycząca stanu wód o zwierciadle swobodnym (gruntowych) na okres 01.03.2026 – 31.03.2026 r. – stacja hydrogeologiczna nr II/382/1 w miejscowości Wolica (woj. świętokrzyskie).
A – prognoza przy założeniu scenariusza A; **B** – prognoza przy założeniu scenariusza B

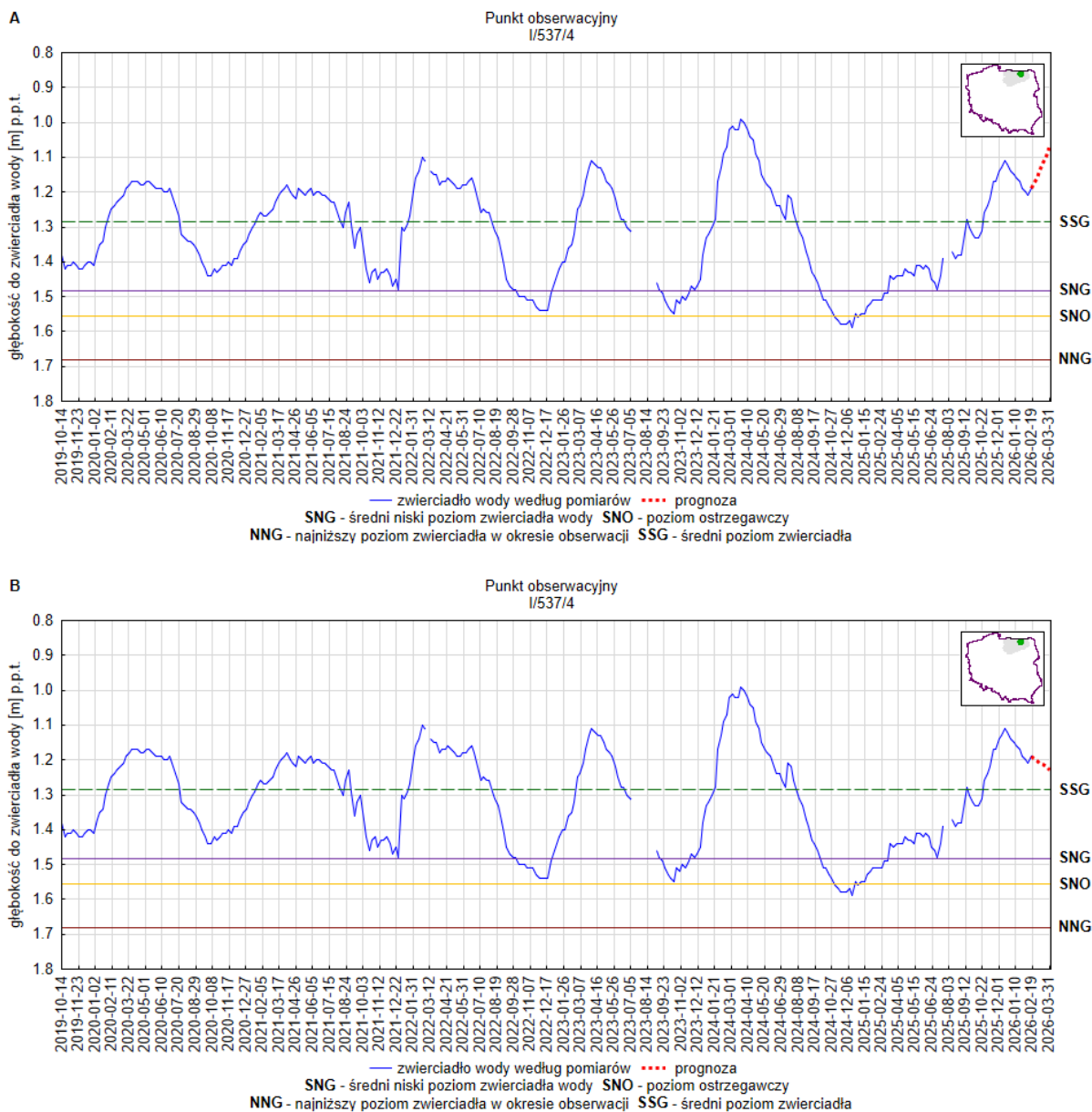
W punkcie obserwacyjnym nr II/382/1 w miejscowości Wolica w województwie świętokrzyskim nie prognozuje się wystąpienia niżówki hydrogeologicznej (scenariusz A i B; rys. 21).

Województwo warmińsko-mazurskie



Rys. 22. Prognoza dotycząca stanu wód o zwierciadle swobodnym (gruntowych) na okres 01.03.2026 – 31.03.2026 r. – stacja hydrogeologiczna nr II/986/1 w miejscowości Groszkowo (woj. warmińsko-mazurskie). **A** – prognoza przy założeniu scenariusza A; **B** – prognoza przy założeniu scenariusza B

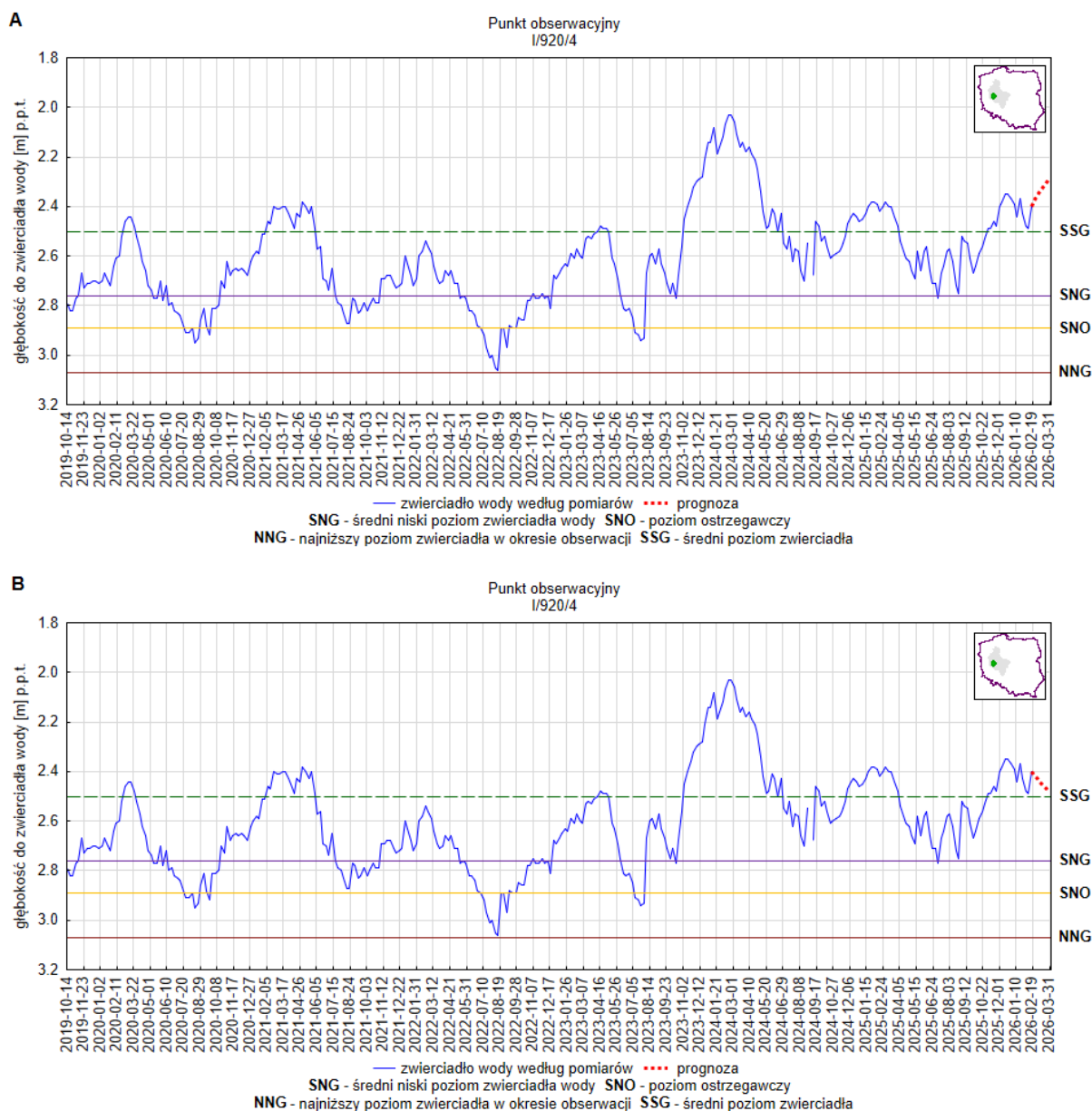
W punkcie obserwacyjnym II/986/1 w miejscowości Groszkowo w województwie warmińsko-mazurskim prognozuje się wystąpienie niżówki hydrogeologicznej (scenariusz B; rys. 22).



Rys. 23. Prognoza dotycząca stanu wód o zwierciadle swobodnym (gruntowych) na okres 01.03.2026 – 31.03.2026 r. – stacja hydrogeologiczna nr I/537/4 w miejscowości Doba (woj. warmińsko-mazurskie). **A** – prognoza przy założeniu scenariusza A; **B** – prognoza przy założeniu scenariusza B

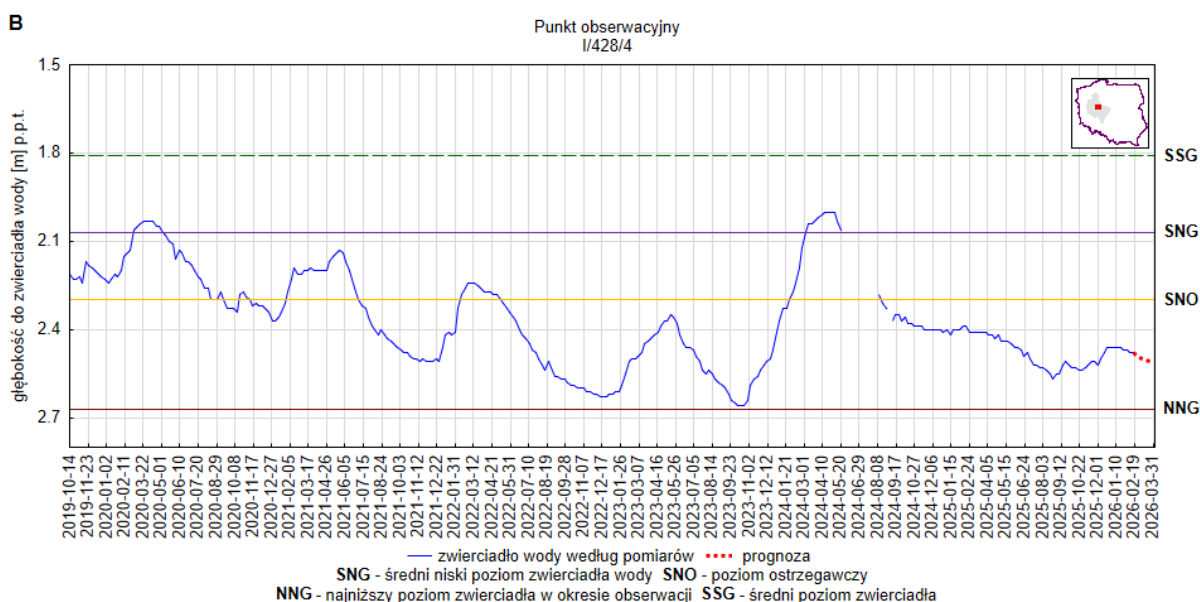
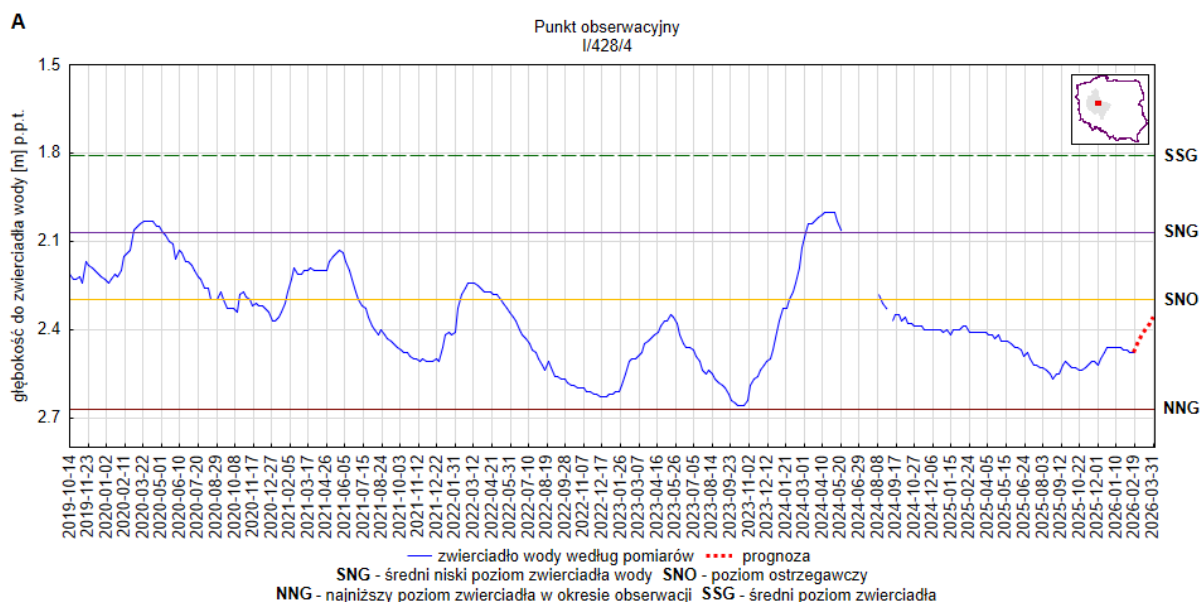
W punkcie obserwacyjnym I/537/4 w miejscowości Doba w województwie warmińsko-mazurskim nie prognozuje się wystąpienia niżówki hydrogeologicznej (scenariusz A i B; rys. 23).

Województwo wielkopolskie



Rys. 24. Prognoza dotycząca stanu wód o zwierciadle swobodnym (gruntowych) na okres 01.03.2026 – 31.03.2026 r. – stacja hydrogeologiczna nr I/920/4 w miejscowości Sepno (woj. wielkopolskie). **A** – prognoza przy założeniu scenariusza A; **B** – prognoza przy założeniu scenariusza B

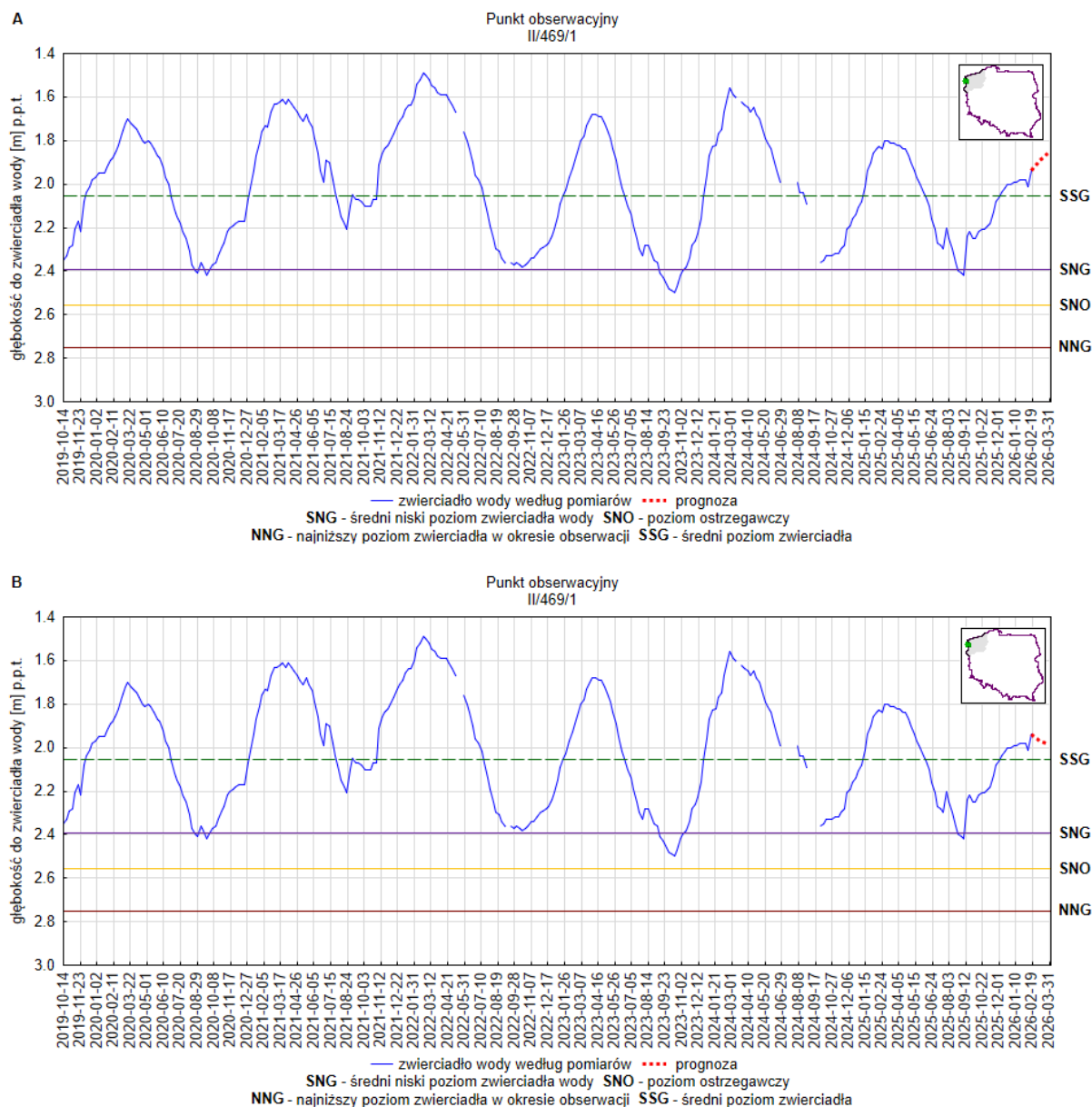
W punkcie obserwacyjnym nr I/920/4 w miejscowości Sepno w województwie wielkopolskim nie prognozuje się wystąpienia niżówki hydrogeologicznej (scenariusz A i B; rys. 24).



Rys. 25. Prognoza dotycząca stanu wód o zwierciadle swobodnym (gruntowych) na okres 01.03.2026 – 31.03.2026 r. – stacja hydrogeologiczna nr I/428/4 w miejscowości Czachurki (woj. wielkopolskie).
A – prognoza przy założeniu scenariusza A; B – prognoza przy założeniu scenariusza B

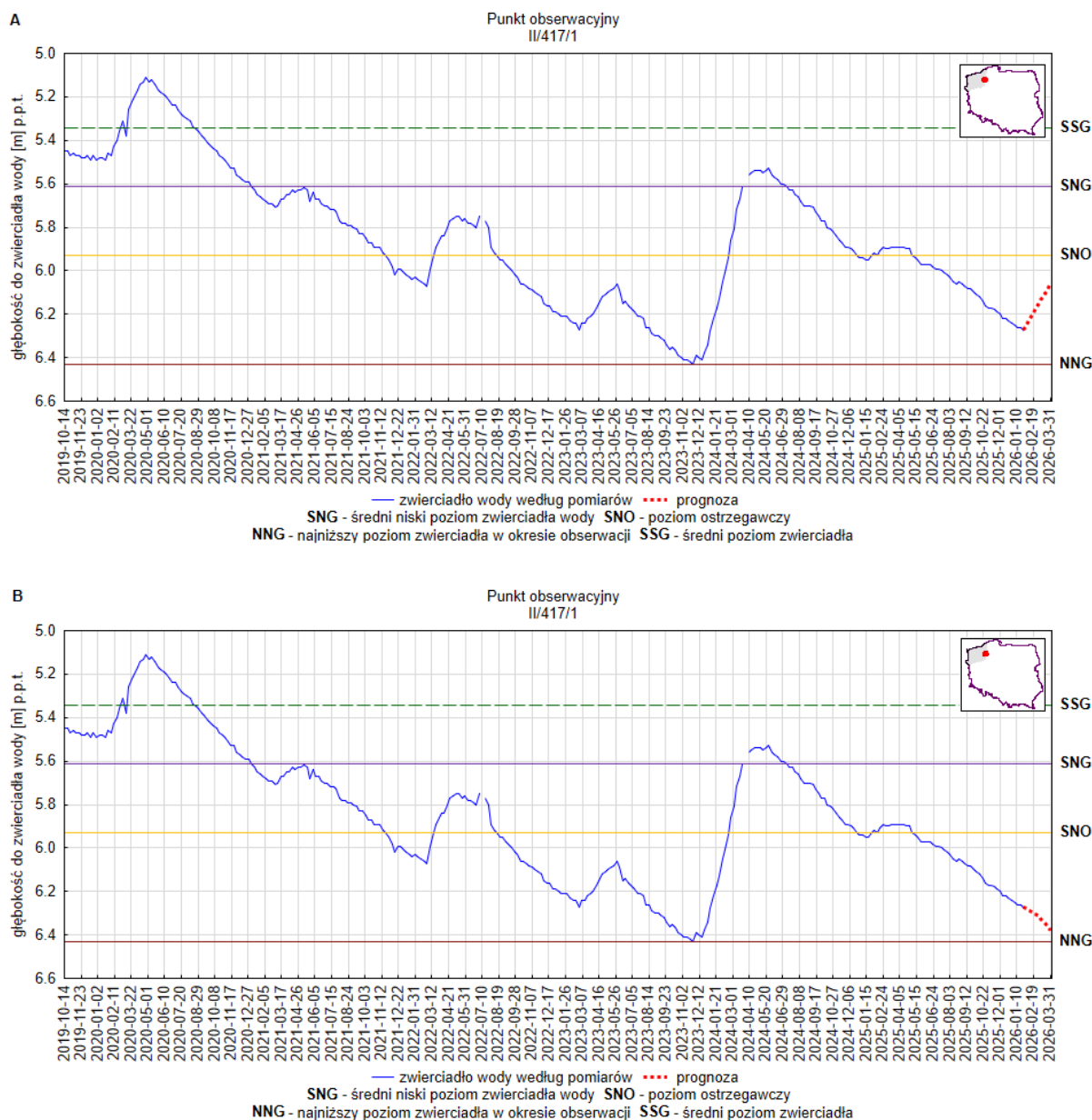
W punkcie obserwacyjnym nr I/428/4 w miejscowości Czachurki w województwie wielkopolskim prognozuje się kontynuację niżówki hydrogeologicznej (scenariusz A i B; rys. 25).

Województwo zachodniopomorskie



Rys. 26. Prognoza dotycząca stanu wód o zwierciadle swobodnym (gruntowych) na okres 01.03.2026 – 31.03.2026 r. – stacja hydrogeologiczna nr II/469/1 w miejscowości Rzędziny (woj. zachodniopomorskie). **A** – prognoza przy założeniu scenariusza A; **B** – prognoza przy założeniu scenariusza B

W punkcie obserwacyjnym nr II/469/1 w miejscowości Rzędziny w województwie zachodniopomorskim nie prognozuje się wystąpienia niżówki hydrogeologicznej (scenariusz A i B; rys. 26).



Rys. 27. Prognoza dotycząca stanu wód o zwierciadle swobodnym (gruntowych) na okres 01.03.2026 – 31.03.2026 r. – stacja hydrogeologiczna nr II/417/1 w miejscowości Turowo (woj. zachodniopomorskie). **A** – prognoza przy założeniu scenariusza A; **B** – prognoza przy założeniu scenariusza B

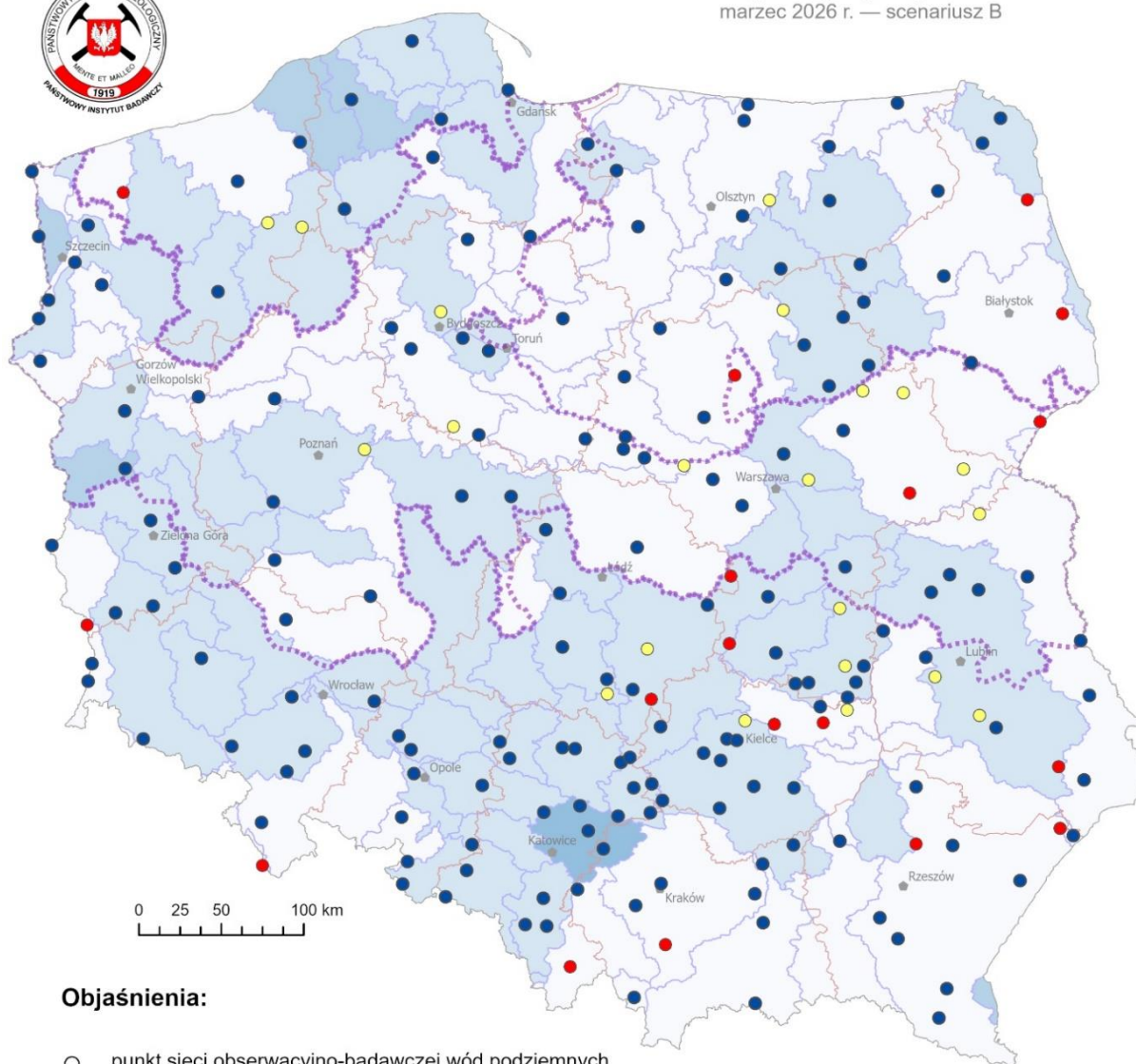
W punkcie obserwacyjnym nr II/417/1 w miejscowości Turowo w województwie zachodniopomorskim prognozuje się kontynuację niżówki hydrogeologicznej (scenariusz A i B; rys. 27).

Część II

Prognoza zmian zasobów wód podziemnych



Prognoza hydrogeologiczna PSG 2/2026
marzec 2026 r. — scenariusz B



Objaśnienia:

○ punkt sieci obserwacyjno-badawczej wód podziemnych

Prognoza stanu rezerw zasobów zmiennych wód podziemnych pierwszego poziomu wodonośnego w stosunku do NNG:

● brak zagrożenia rezerw zasobów

● zagrożenie rezerw zasobów

● brak rezerw zasobów

⋯ granica regionu ze średnim odpływem podziemnym z wielolecia 1951—1980 (poniżej 100 m³/d km²) na podst. Orsztynowicz, 1988

— granica obszaru bilansowego

— granica województwa

Moduł zasobów dyspozycyjnych* wód podziemnych w obszarze bilansowym [m³/24h/km²]**:



*zgodnie z definicją w Rozporządzeniu Ministra Środowiska z dnia 18 listopada 2016 r. w sprawie dokumentacji hydrogeologicznej i dokumentacji geologiczno-inżynierskiej (Dz. U. z 2016 r. poz. 2033)

**według Bazy danych zasobów dyspozycyjnych na obszarze kraju (PIG-PIB); stan na grudzień 2025 r.

Rys. 28. Prognoza poziomu rezerw zasobów zmiennych wód podziemnych na marzec 2026 r. według scenariusza B w odniesieniu do najniższego zaobserwowanego w wieloleciu położenia zwierciadła wód (NNG)

Rycina nr 28 przedstawia prognozę zmian poziomu rezerw wód podziemnych w okresie od 1 do 31 marca 2026 r. w odniesieniu do najniższego zaobserwowanego w wieloleciu położenia zwierciadła płytkich wód podziemnych. Jest to interpretacja prognozy dotycząca scenariusza B, czyli zakładającego deficyt opadów atmosferycznych w nadchodzących tygodniach.

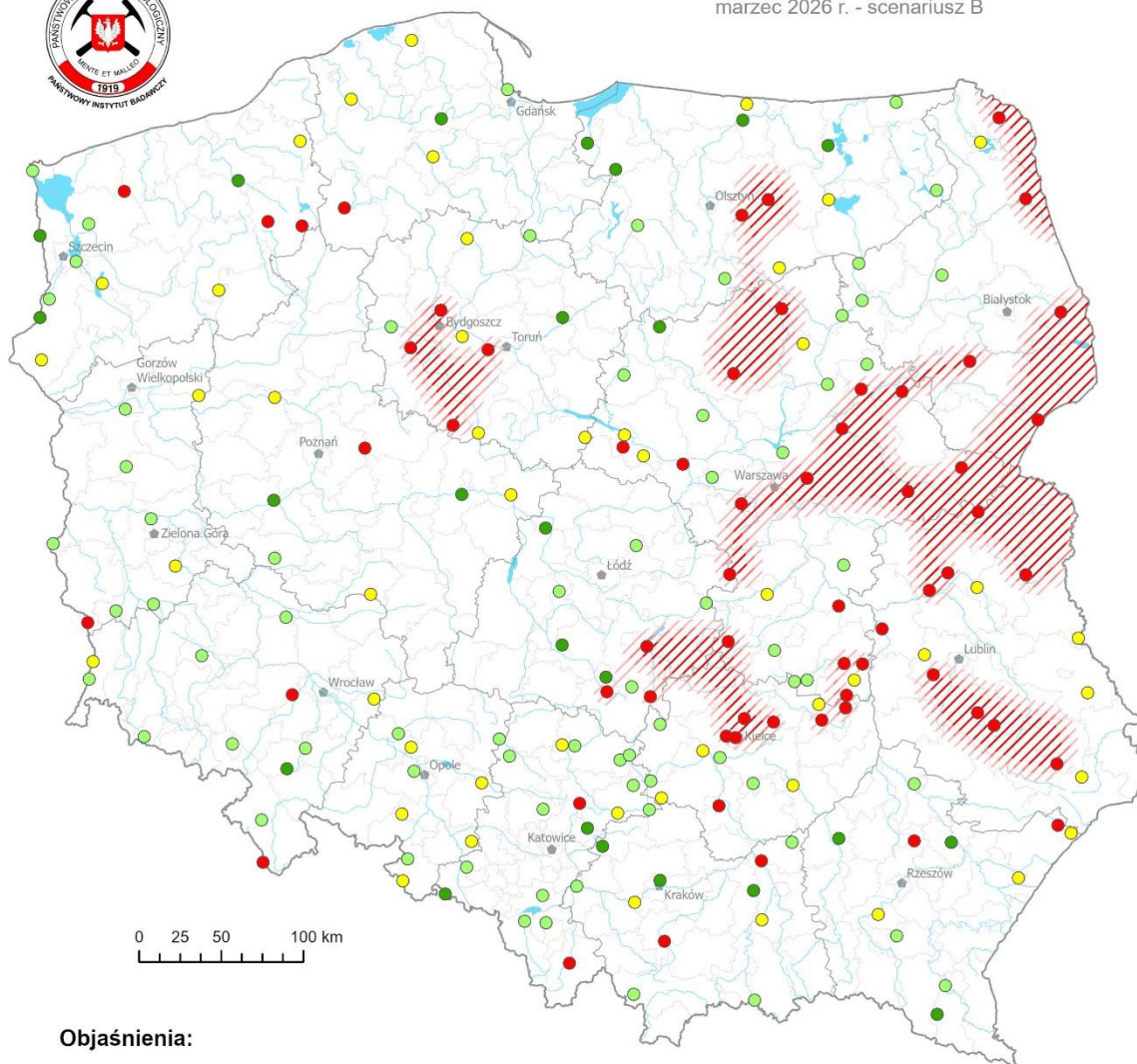
Z przeprowadzonych analiz wynika, że w okresie objętym prognozą na przeważającym obszarze kraju stan rezerw zasobów zmiennych kształtować się będzie na bezpiecznym poziomie (wskaźnik R_z większy niż 1). Jednocześnie prognozuje się, że brak rezerw zasobów w odniesieniu do najniższego obserwowanego w wieloleciu położenia zwierciadła wód podziemnych może występować na niewielkich obszarach - lokalnie, głównie we wschodniej części kraju.

Część III

Prognoza zagrożeń wód podziemnych



Prognoza hydrogeologiczna PSG 2/2026
marzec 2026 r. - scenariusz B



Objaśnienia:

○ punkt sieci obserwacyjno-badawczej wód podziemnych

~ rzeka

Ocena zagrożenia hydrogeologicznego

Ocena zagrożenia wystąpienia zjawiska niżówki hydrogeologicznej na podstawie prognozowanych wartości średnich położenia zwierciadła wody dla określonego miesiąca według scenariusza B:

● jezioro, zbiornik wodny

— granica województwa

○ granica powiatu

● bardzo niski stopień zagrożenia - stan wyższy niż SSG

● niski stopień zagrożenia - stan wyższy niż SNG i jednocześnie niższy lub równy SSG

● umiarkowany stopień zagrożenia - stan wyższy niż SNO i jednocześnie niższy lub równy SNG

● wysoki stopień zagrożenia - stan równy lub niższy niż SNO

▨ obszar o wysokim prawdopodobieństwie wystąpienia niżówki hydrogeologicznej (prognoza według scenariusza B)

Rys. 29. Prognoza zagrożeń wód podziemnych - występowanie niżówki hydrogeologicznej w okresie 1 – 31.03.2026 r. według scenariusza B

Rysunek nr 29 przedstawia prognozę występowania niżówki hydrogeologicznej według scenariusza B, zakładającego deficyt opadów atmosferycznych w najbliższych tygodniach. Według tego wariantu w okresie od 1 do 31 marca 2026 r. prognozuje się wystąpienie niżówki hydrogeologicznej w skali regionalnej w obrębie województw: podlaskiego, mazowieckiego, lubelskiego, a także, w mniejszym stopniu – kujawsko-pomorskiego, warmińsko-mazurskiego, łódzkiego i świętokrzyskiego.

Obniżenie zwierciadła płytkich wód podziemnych poniżej stanu niskiego ostrzegawczego (SNO) może występować także w skali lokalnej na innych niż wymienione powyżej obszarach kraju.

W związku z obecną i prognozowaną sytuacją hydrogeologiczną państwowa służba geologiczna wydaje Ostrzeżenie hydrogeologiczne nr 2/2026, zgodnie z którym w marcu 2026 r. stan zagrożenia hydrogeologicznego będzie obowiązywać dla województw: podlaskiego, mazowieckiego, lubelskiego oraz kujawsko-pomorskiego, warmińsko-mazurskiego, łódzkiego i świętokrzyskiego.

Czas aktualizacji prognozy będzie dostosowany do wyników bieżącej analizy sytuacji hydrogeologicznej w kraju.

Niniejsza prognoza publikowana jest na stronie internetowej państwowej służby geologicznej pod adresem: <http://www.pgi.gov.pl/psh/psh-2/aktualna-sytuacja-hydrogeologiczna.html>.



Państwowy Instytut Geologiczny
Państwowy Instytut Badawczy

państwowa służba
geologiczna

ul. Rakowiecka 4,
00-975 Warszawa

pgi.gov.pl

komprog@pgi.gov.pl